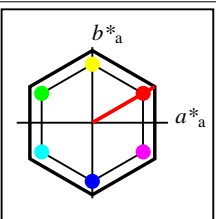


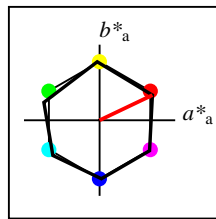
%Umfang
 $u^*_{rel} = 152$
%Regularität
 $g^*_{H,rel} = 100$
 $g^*_{C,rel} = 100$

NLS00					
	$L^*=L^*_a$	a^*_a	b^*_a	$C^*_{ab,a}$	$h^*_{ab,a}$
O _M	31.81	82.62	47.7	95.4	30
Y _M	63.61	0.0	95.4	95.4	90
L _M	31.81	-82.61	47.7	95.4	150
C _M	63.61	-82.61	-47.69	95.4	210
V _M	31.81	0.0	-95.39	95.4	270
M _M	63.61	82.62	-47.69	95.4	330
N _M	0.01	0.0	0.0	0.0	0
W _M	95.41	0.0	0.0	0.0	0
R _{CIE}	39.92	58.74	27.99	65.07	25
J _{CIE}	81.26	-2.88	71.56	71.62	92
G _{CIE}	52.23	-42.41	13.6	44.55	162
B _{CIE}	30.57	1.41	-46.46	46.49	272



%Umfang
 $u^*_{rel} = 152$
%Regularität
 $g^*_{H,rel} = 100$
 $g^*_{C,rel} = 100$

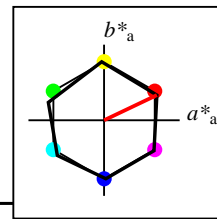
NLS00a; adaptierte CIELAB-Daten					
	$L^*=L^*_a$	a^*_a	b^*_a	$C^*_{ab,a}$	$h^*_{ab,a}$
O _{Ma}	31.81	82.62	47.7	95.4	30
Y _{Ma}	63.61	0.0	95.4	95.4	90
L _{Ma}	31.81	-82.61	47.7	95.4	150
C _{Ma}	63.61	-82.61	-47.69	95.4	210
V _{Ma}	31.81	0.0	-95.39	95.4	270
M _{Ma}	63.61	82.62	-47.69	95.4	330
N _{Ma}	0.01	0.0	0.0	0.0	0
W _{Ma}	95.41	0.0	0.0	0.0	0
R _{CIE}	39.92	58.74	27.99	65.07	25
J _{CIE}	81.26	-2.88	71.56	71.62	92
G _{CIE}	52.23	-42.41	13.6	44.55	162
B _{CIE}	30.57	1.41	-46.46	46.49	272



%Umfang
 $u^*_{rel} = 100$
%Regularität
 $g^*_{H,rel} = 78$
 $g^*_{C,rel} = 100$

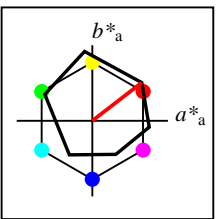
NRS18a; adaptierte CIELAB-Daten					
	$L^*=L^*_a$	a^*_a	b^*_a	$C^*_{ab,a}$	$h^*_{ab,a}$
O _{Ma}	56.71	69.87	33.29	77.4	25
Y _{Ma}	56.71	-3.1	77.34	77.4	92
L _{Ma}	56.71	-73.68	23.63	77.39	162
C _{Ma}	56.71	-61.81	-46.54	77.39	217
V _{Ma}	56.71	2.35	-77.34	77.39	272
M _{Ma}	56.71	66.07	-40.3	77.4	329
N _{Ma}	18.01	0.0	0.0	0.0	0
W _{Ma}	95.41	0.0	0.0	0.0	0
R _{CIE}	39.92	58.74	27.99	65.07	25
J _{CIE}	81.26	-2.88	71.56	71.62	92
G _{CIE}	52.23	-42.41	13.6	44.55	162
B _{CIE}	30.57	1.41	-46.46	46.49	272

Workflow-Wahlen
für Farbmuster:
1. keine Farbänderung
2. Buntton-Änderung
3. Buntheits-Änderung



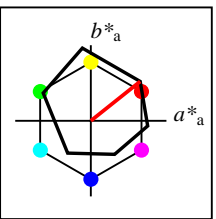
%Umfang
 $u^*_{rel} = 100$
%Regularität
 $g^*_{H,rel} = 78$
 $g^*_{C,rel} = 100$

NRS18a; adaptierte CIELAB-Daten					
	$L^*=L^*_a$	a^*_a	b^*_a	$C^*_{ab,a}$	$h^*_{ab,a}$
O _{Ma}	56.71	69.87	33.29	77.4	25
Y _{Ma}	56.71	-3.1	77.34	77.4	92
L _{Ma}	56.71	-73.68	23.63	77.39	162
C _{Ma}	56.71	-61.81	-46.54	77.39	217
V _{Ma}	56.71	2.35	-77.34	77.39	272
M _{Ma}	56.71	66.07	-40.3	77.4	329
N _{Ma}	18.01	0.0	0.0	0.0	0
W _{Ma}	95.41	0.0	0.0	0.0	0
R _{CIE}	39.92	58.74	27.99	65.07	25
J _{CIE}	81.26	-2.88	71.56	71.62	92
G _{CIE}	52.23	-42.41	13.6	44.55	162
B _{CIE}	30.57	1.41	-46.46	46.49	272



%Umfang
 $u^*_{rel} = 93$
%Regularität
 $g^*_{H,rel} = 57$
 $g^*_{C,rel} = 59$

ORS18a; adaptierte CIELAB-Daten					
	$L^*=L^*_a$	a^*_a	b^*_a	$C^*_{ab,a}$	$h^*_{ab,a}$
O _{Ma}	47.94	65.39	50.52	82.63	38
Y _{Ma}	90.37	-10.26	91.75	92.32	96
L _{Ma}	50.9	-62.83	34.96	71.91	151
C _{Ma}	58.62	-30.34	-45.01	54.3	236
V _{Ma}	25.72	31.1	-44.4	54.22	305
M _{Ma}	48.13	75.28	-8.36	75.74	354
N _{Ma}	18.01	0.0	0.0	0.0	0
W _{Ma}	95.41	0.0	0.0	0.0	0
R _{CIE}	39.92	58.66	26.98	64.57	25
J _{CIE}	81.26	-2.16	67.76	67.79	92
G _{CIE}	52.23	-42.25	11.76	43.87	164
B _{CIE}	30.57	1.15	-46.84	46.86	271



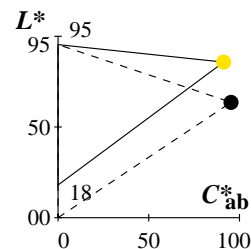
%Umfang
 $u^*_{rel} = 94$
%Regularität
 $g^*_{H,rel} = 58$
 $g^*_{C,rel} = 54$

ORS18					
	$L^*=L^*_a$	a^*_a	b^*_a	$C^*_{ab,a}$	$h^*_{ab,a}$
O _M	47.94	65.31	52.07	83.53	39
Y _M	90.37	-11.15	96.17	96.82	97
L _M	50.9	-62.96	36.71	72.89	150
C _M	58.62	-30.62	-42.74	52.59	234
V _M	25.72	31.45	-44.35	54.38	305
M _M	48.13	75.2	-6.79	75.51	355
N _M	18.01	0.5	-0.46	0.69	317
W _M	95.41	-0.98	4.76	4.86	102
R _{CIE}	39.92	58.74	27.99	65.07	25
J _{CIE}	81.26	-2.88	71.56	71.62	92
G _{CIE}	52.23	-42.41	13.6	44.55	162
B _{CIE}	30.57	1.41	-46.46	46.49	272

Relatives CIELAB-Buntheitsdiagramm: ($a_R^* = lab^*a$, $b_R^* = lab^*b$) und absolutes CIELAB Bunttondreiecks-Diagramm: (L^* , C_{ab}^*) für Ein- (---) und Ausgabe (----) NLS00: Eingabe (i) Farbmatrik-Sytem; Sechs Bunttonwinkel des Farbgerätes: (30.0, 90.0, 150.0, 210.0, 270.0, 330.0); Vier Bunttonwinkel der Elementarfarben: (25.5, 92.3, 162.2, 271.7)
ORS18: Ausgabe (o) Farbmatrik-Sytem; Sechs Bunttonwinkel des Farbgerätes: (37.7, 96.4, 150.9, 236.0, 305.0, 353.7); Vier Bunttonwinkel der Elementarfarben: (24.7, 91.8, 164.5, 271.4)

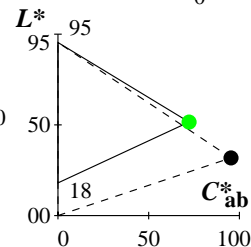
Y Gelb

$olv3Mi = 1.0 \ 1.0 \ 0.0$
 $olv3Mo = 1.0 \ 0.891 \ 0.0$
 $LCHMi = 63.6 \ 95.4 \ 90$
 $LCHo = 85.8 \ 91.3 \ 90$
 $tchMi = 0.5 \ 1.0 \ 0.25$
 $tchMo = 0.5 \ 1.0 \ 0.25$



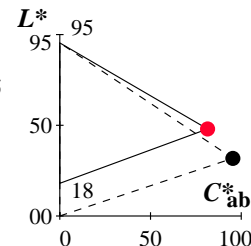
L Laubgrün

$olv3Mi = 0.0 \ 1.0 \ 0.0$
 $olv3Mo = 0.017 \ 1.0 \ 0.0$
 $LCHMi = 31.8 \ 95.4 \ 150$
 $LCHo = 51.6 \ 72.2 \ 150$
 $tchMi = 0.5 \ 1.0 \ 0.417$
 $tchMo = 0.5 \ 1.0 \ 0.417$



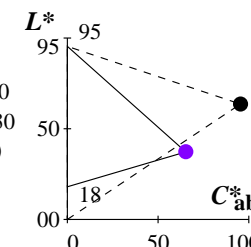
O Orangerot

$olv3Mi = 1.0 \ 0.0 \ 0.0$
 $olv3Mo = 1.0 \ 0.0 \ 0.175$
 $LCHMi = 31.8 \ 95.4 \ 30$
 $LCHo = 48.0 \ 81.4 \ 30$
 $tchMi = 0.5 \ 1.0 \ 0.083$
 $tchMo = 0.5 \ 1.0 \ 0.083$



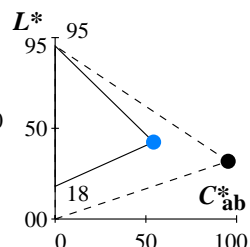
M Magentarot

$olv3Mi = 1.0 \ 0.0 \ 1.0$
 $olv3Mo = 0.514 \ 0.0 \ 1.0$
 $LCHMi = 63.6 \ 95.4 \ 330$
 $LCHo = 37.2 \ 65.3 \ 330$
 $tchMi = 0.5 \ 1.0 \ 0.917$
 $tchMo = 0.5 \ 1.0 \ 0.917$



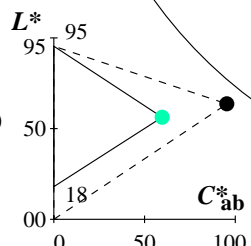
V Violettblau

$olv3Mi = 0.0 \ 0.0 \ 1.0$
 $olv3Mo = 0.0 \ 0.507 \ 1.0$
 $LCHMi = 31.8 \ 95.4 \ 270$
 $LCHo = 42.4 \ 54.3 \ 270$
 $tchMi = 0.5 \ 1.0 \ 0.75$
 $tchMo = 0.5 \ 1.0 \ 0.75$



C Cyanblau

$olv3Mi = 0.0 \ 1.0 \ 1.0$
 $olv3Mo = 0.0 \ 1.0 \ 0.694$
 $LCHMi = 63.6 \ 95.4 \ 210$
 $LCHo = 56.3 \ 59.7 \ 210$
 $tchMi = 0.5 \ 1.0 \ 0.583$
 $tchMo = 0.5 \ 1.0 \ 0.583$



Keine Bunttonänderung der Ausgabefarbe M
Keine relative Buntheitsänderung der Ausgabefarbe M

Siehe ähnliche Dateien: <http://www.ps.bam.de/YG64/>
Technische Information: <http://www.ps.bam.de> Version 2.1, io=1,1, CIELAB

BAM-Registrierung: 20061101-YG64/10L/L64G40FP.PS/.PDF BAM-Material: Code=rh4ta
Anwendung für Beurteilung und Messung von Drucker- oder Monitorsystemen
/YG64/ Form: 2/8, Seite: 1/1, Seite: 2
Seite: 1/1

Relatives CIELAB-Buntheitsdiagramm: ($a_R^* = lab^*a$, $b_R^* = lab^*b$) und absolutes CIELAB Bunttondreiecks-Diagramm: (L^* , C_{ab}^*) für Ein- (---) und Ausgabe (----) NLS00: Eingabe (i) Farbmatrik-Sytem; Sechs Bunttonwinkel des Farbgerätes: (30.0, 90.0, 150.0, 210.0, 270.0, 330.0); Vier Bunttonwinkel der Elementarfarben: (25.5, 92.3, 162.2, 271.7)
ORS18: Ausgabe (o) Farbmatrik-Sytem; Sechs Bunttonwinkel des Farbgerätes: (37.7, 96.4, 150.9, 236.0, 305.0, 353.7); Vier Bunttonwinkel der Elementarfarben: (24.7, 91.8, 164.5, 271.4)

Y Gelb

$olv3Mi = 1.0 \ 1.0 \ 0.0$
 $olv3Mo = 0.934 \ 1.0 \ 0.0$
 $LCHMi = 63.6 \ 95.4 \ 90$
 $LCHo = 87.7 \ 91.0 \ 100$
 $tchMi = 0.5 \ 1.0 \ 0.25$
 $tchMo = 0.5 \ 1.0 \ 0.278$

L Laubgrün

$olv3Mi = 0.0 \ 1.0 \ 0.0$
 $olv3Mo = 0.0 \ 1.0 \ 0.107$
 $LCHMi = 31.8 \ 95.4 \ 150$
 $LCHo = 51.7 \ 70.0 \ 160$
 $tchMi = 0.5 \ 1.0 \ 0.417$
 $tchMo = 0.5 \ 1.0 \ 0.444$

C Cyanblau

$olv3Mi = 0.0 \ 1.0 \ 1.0$
 $olv3Mo = 0.0 \ 1.0 \ 0.812$
 $LCHMi = 63.6 \ 95.4 \ 210$
 $LCHo = 57.2 \ 57.6 \ 220$
 $tchMi = 0.5 \ 1.0 \ 0.583$
 $tchMo = 0.5 \ 1.0 \ 0.611$

V Violettblau

$olv3Mi = 0.0 \ 0.0 \ 1.0$
 $olv3Mo = 0.0 \ 0.362 \ 1.0$
 $LCHMi = 31.8 \ 95.4 \ 270$
 $LCHo = 37.6 \ 54.2 \ 280$
 $tchMi = 0.5 \ 1.0 \ 0.75$
 $tchMo = 0.5 \ 1.0 \ 0.778$

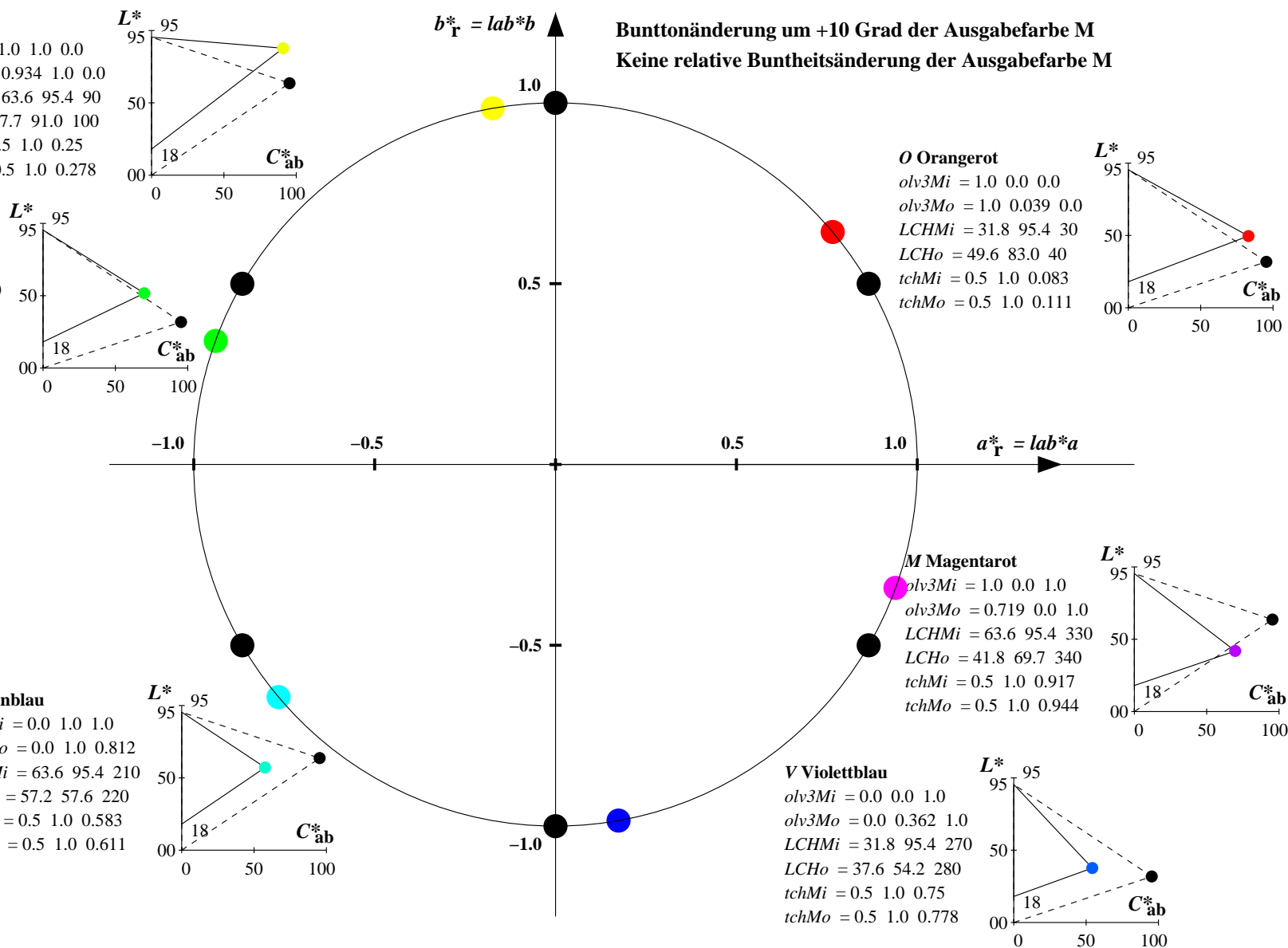
M Magentarot

$olv3Mi = 1.0 \ 0.0 \ 1.0$
 $olv3Mo = 0.719 \ 0.0 \ 1.0$
 $LCHMi = 63.6 \ 95.4 \ 330$
 $LCHo = 41.8 \ 69.7 \ 340$
 $tchMi = 0.5 \ 1.0 \ 0.917$
 $tchMo = 0.5 \ 1.0 \ 0.944$

O Orangerot

$olv3Mi = 1.0 \ 0.0 \ 0.0$
 $olv3Mo = 1.0 \ 0.039 \ 0.0$
 $LCHMi = 31.8 \ 95.4 \ 30$
 $LCHo = 49.6 \ 83.0 \ 40$
 $tchMi = 0.5 \ 1.0 \ 0.083$
 $tchMo = 0.5 \ 1.0 \ 0.111$

Bunttonänderung um +10 Grad der Ausgabefarbe M
Keine relative Buntheitsänderung der Ausgabefarbe M



Relatives CIELAB-Buntheitsdiagramm: ($a_R^* = lab^*a$, $b_R^* = lab^*b$) und **absolutes CIELAB Bunttondreiecks-Diagramm:** (L^* , C_{ab}^*) für Ein- (---) und Ausgabe (----) NLS00: Eingabe (i) Farbmatrik-Sytem; Sechs Bunttonwinkel des Farbgerätes: (30.0, 90.0, 150.0, 210.0, 270.0, 330.0); Vier Bunttonwinkel der Elementarfarben: (25.5, 92.3, 162.2, 271.7)
ORS18: Ausgabe (o) Farbmatrik-Sytem; Sechs Bunttonwinkel des Farbgerätes: (37.7, 96.4, 150.9, 236.0, 305.0, 353.7); Vier Bunttonwinkel der Elementarfarben: (24.7, 91.8, 164.5, 271.4)

Y Gelb

$olv3Mi = 1.0 \ 1.0 \ 0.0$
 $olv3Mo = 0.75 \ 0.696 \ 0.25$
 $LCHMi = 63.6 \ 95.4 \ 90$
 $LCHo = 66.7 \ 45.6 \ 90$
 $tchMi = 0.5 \ 1.0 \ 0.25$
 $tchMo = 0.5 \ 0.5 \ 0.25$

L Laubgrün

$olv3Mi = 0.0 \ 1.0 \ 0.0$
 $olv3Mo = 0.258 \ 0.75 \ 0.25$
 $LCHMi = 31.8 \ 95.4 \ 150$
 $LCHo = 49.6 \ 36.1 \ 150$
 $tchMi = 0.5 \ 1.0 \ 0.417$
 $tchMo = 0.5 \ 0.5 \ 0.417$

C Cyanblau

$olv3Mi = 0.0 \ 1.0 \ 1.0$
 $olv3Mo = 0.25 \ 0.75 \ 0.597$
 $LCHMi = 63.6 \ 95.4 \ 210$
 $LCHo = 52.0 \ 29.8 \ 210$
 $tchMi = 0.5 \ 1.0 \ 0.583$
 $tchMo = 0.5 \ 0.5 \ 0.583$

V Violettblau

$olv3Mi = 0.0 \ 0.0 \ 1.0$
 $olv3Mo = 0.25 \ 0.504 \ 0.75$
 $LCHMi = 31.8 \ 95.4 \ 270$
 $LCHo = 45.1 \ 27.1 \ 270$
 $tchMi = 0.5 \ 1.0 \ 0.75$
 $tchMo = 0.5 \ 0.5 \ 0.75$

M Magentarot

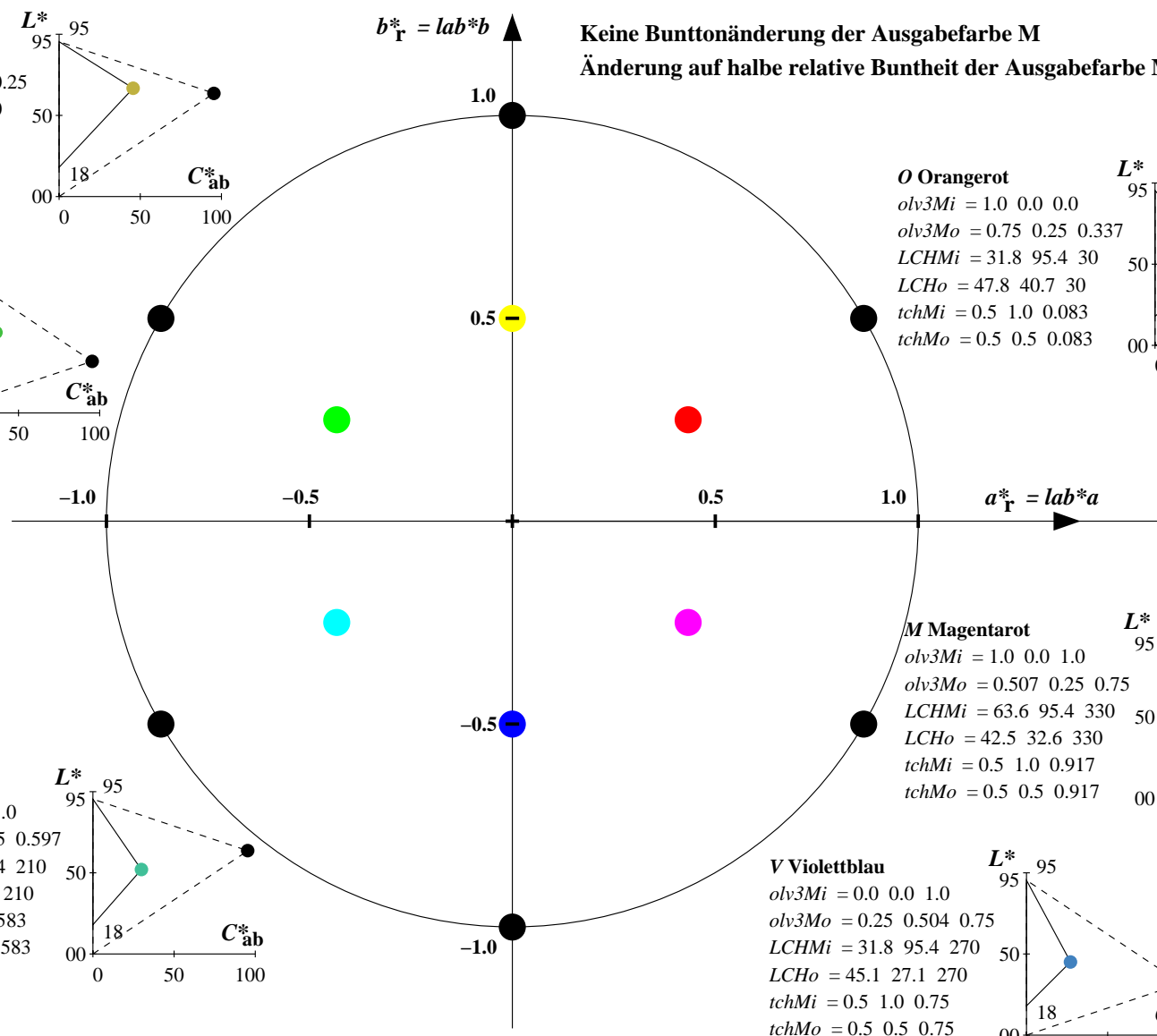
$olv3Mi = 1.0 \ 0.0 \ 1.0$
 $olv3Mo = 0.507 \ 0.25 \ 0.75$
 $LCHMi = 63.6 \ 95.4 \ 330$
 $LCHo = 42.5 \ 32.6 \ 330$
 $tchMi = 0.5 \ 1.0 \ 0.917$
 $tchMo = 0.5 \ 0.5 \ 0.917$

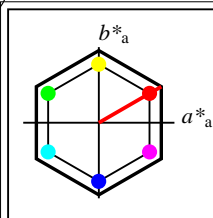
O Orangerot

$olv3Mi = 1.0 \ 0.0 \ 0.0$
 $olv3Mo = 0.75 \ 0.25 \ 0.337$
 $LCHMi = 31.8 \ 95.4 \ 30$
 $LCHo = 47.8 \ 40.7 \ 30$
 $tchMi = 0.5 \ 1.0 \ 0.083$
 $tchMo = 0.5 \ 0.5 \ 0.083$

Keine Bunttonänderung der Ausgabefarbe M

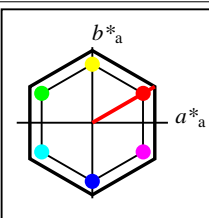
Änderung auf halbe relative Buntheit der Ausgabefarbe M





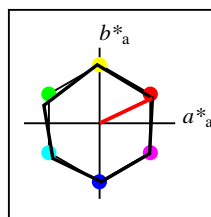
%Umfang
 $u^*_{rel} = 152$
%Regularität
 $g^*_{H,rel} = 100$
 $g^*_{C,rel} = 100$

NLS00	$L^*=L^*_a$	a^*_a	b^*_a	$C^*_{ab,a}$	$h^*_{ab,a}$
O _M	31.81	82.62	47.7	95.4	30
Y _M	63.61	0.0	95.4	95.4	90
L _M	31.81	-82.61	47.7	95.4	150
C _M	63.61	-82.61	-47.69	95.4	210
V _M	31.81	0.0	-95.39	95.4	270
M _M	63.61	82.62	-47.69	95.4	330
N _M	0.01	0.0	0.0	0.0	0
W _M	95.41	0.0	0.0	0.0	0
R _{CIE}	39.92	58.74	27.99	65.07	25
J _{CIE}	81.26	-2.88	71.56	71.62	92
G _{CIE}	52.23	-42.41	13.6	44.55	162
B _{CIE}	30.57	1.41	-46.46	46.49	272



%Umfang
 $u^*_{rel} = 152$
%Regularität
 $g^*_{H,rel} = 100$
 $g^*_{C,rel} = 100$

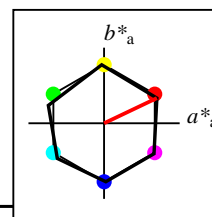
NLS00a; adaptierte CIELAB-Daten	$L^*=L^*_a$	a^*_a	b^*_a	$C^*_{ab,a}$	$h^*_{ab,a}$
O _{Ma}	31.81	82.62	47.7	95.4	30
Y _{Ma}	63.61	0.0	95.4	95.4	90
L _{Ma}	31.81	-82.61	47.7	95.4	150
C _{Ma}	63.61	-82.61	-47.69	95.4	210
V _{Ma}	31.81	0.0	-95.39	95.4	270
M _{Ma}	63.61	82.62	-47.69	95.4	330
N _{Ma}	0.01	0.0	0.0	0.0	0
W _{Ma}	95.41	0.0	0.0	0.0	0
R _{CIE}	39.92	58.74	27.99	65.07	25
J _{CIE}	81.26	-2.88	71.56	71.62	92
G _{CIE}	52.23	-42.41	13.6	44.55	162
B _{CIE}	30.57	1.41	-46.46	46.49	272



%Umfang
 $u^*_{rel} = 100$
%Regularität
 $g^*_{H,rel} = 78$
 $g^*_{C,rel} = 100$

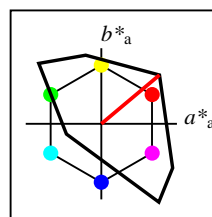
NRS18a; adaptierte CIELAB-Daten	$L^*=L^*_a$	a^*_a	b^*_a	$C^*_{ab,a}$	$h^*_{ab,a}$
O _{Ma}	56.71	69.87	33.29	77.4	25
Y _{Ma}	56.71	-3.1	77.34	77.4	92
L _{Ma}	56.71	-73.68	23.63	77.39	162
C _{Ma}	56.71	-61.81	-46.54	77.39	217
V _{Ma}	56.71	2.35	-77.34	77.39	272
M _{Ma}	56.71	66.07	-40.3	77.4	329
N _{Ma}	18.01	0.0	0.0	0.0	0
W _{Ma}	95.41	0.0	0.0	0.0	0
R _{CIE}	39.92	58.74	27.99	65.07	25
J _{CIE}	81.26	-2.88	71.56	71.62	92
G _{CIE}	52.23	-42.41	13.6	44.55	162
B _{CIE}	30.57	1.41	-46.46	46.49	272

Workflow-Wahlen
für Farbmuster:
1. keine Farbänderung
2. Buntton-Änderung
3. Buntheits-Änderung



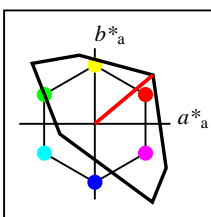
%Umfang
 $u^*_{rel} = 100$
%Regularität
 $g^*_{H,rel} = 78$
 $g^*_{C,rel} = 100$

NRS18a; adaptierte CIELAB-Daten	$L^*=L^*_a$	a^*_a	b^*_a	$C^*_{ab,a}$	$h^*_{ab,a}$
O _{Ma}	56.71	69.87	33.29	77.4	25
Y _{Ma}	56.71	-3.1	77.34	77.4	92
L _{Ma}	56.71	-73.68	23.63	77.39	162
C _{Ma}	56.71	-61.81	-46.54	77.39	217
V _{Ma}	56.71	2.35	-77.34	77.39	272
M _{Ma}	56.71	66.07	-40.3	77.4	329
N _{Ma}	18.01	0.0	0.0	0.0	0
W _{Ma}	95.41	0.0	0.0	0.0	0
R _{CIE}	39.92	58.74	27.99	65.07	25
J _{CIE}	81.26	-2.88	71.56	71.62	92
G _{CIE}	52.23	-42.41	13.6	44.55	162
B _{CIE}	30.57	1.41	-46.46	46.49	272



%Umfang
 $u^*_{rel} = 158$
%Regularität
 $g^*_{H,rel} = 20$
 $g^*_{C,rel} = 37$

TLS00a; adaptierte CIELAB-Daten	$L^*=L^*_a$	a^*_a	b^*_a	$C^*_{ab,a}$	$h^*_{ab,a}$
O _{Ma}	50.5	76.92	64.55	100.42	40
Y _{Ma}	92.66	-20.69	90.75	93.08	103
L _{Ma}	83.63	-82.75	79.9	115.04	136
C _{Ma}	86.88	-46.16	-13.55	48.12	196
V _{Ma}	30.39	76.06	-103.59	128.52	306
M _{Ma}	57.3	94.35	-58.41	110.97	328
N _{Ma}	0.01	0.0	0.0	0.0	0
W _{Ma}	95.41	0.0	0.0	0.0	0
R _{CIE}	39.92	58.74	27.99	65.07	25
J _{CIE}	81.26	-2.88	71.56	71.62	92
G _{CIE}	52.23	-42.41	13.6	44.55	162
B _{CIE}	30.57	1.41	-46.46	46.49	272



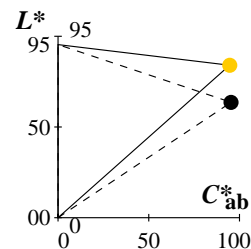
%Umfang
 $u^*_{rel} = 158$
%Regularität
 $g^*_{H,rel} = 20$
 $g^*_{C,rel} = 37$

TLS00	$L^*=L^*_a$	a^*_a	b^*_a	$C^*_{ab,a}$	$h^*_{ab,a}$
O _M	50.5	76.92	64.55	100.42	40
Y _M	92.66	-20.69	90.75	93.08	103
L _M	83.63	-82.75	79.9	115.04	136
C _M	86.88	-46.16	-13.55	48.12	196
V _M	30.39	76.06	-103.59	128.52	306
M _M	57.3	94.35	-58.41	110.97	328
N _M	0.01	0.0	0.0	0.0	0
W _M	95.41	0.0	0.0	0.0	0
R _{CIE}	39.92	58.74	27.99	65.07	25
J _{CIE}	81.26	-2.88	71.56	71.62	92
G _{CIE}	52.23	-42.41	13.6	44.55	162
B _{CIE}	30.57	1.41	-46.46	46.49	272

Relatives CIELAB-Buntheitsdiagramm: ($a_R^* = lab^*a$, $b_R^* = lab^*b$) und **absolutes CIELAB Bunttondreiecks-Diagramm:** (L^* , C_{ab}^*) für Ein- (---) und Ausgabe (----) NLS00: Eingabe (i) Farbmatrik-Sytem; Sechs Bunttonwinkel des Farbgerätes: (30.0, 90.0, 150.0, 210.0, 270.0, 330.0); Vier Bunttonwinkel der Elementarfarben: (25.5, 92.3, 162.2, 271.7)
TLS00: Ausgabe (o) Farbmatrik-Sytem; Sechs Bunttonwinkel des Farbgerätes: (40.0, 102.8, 136.0, 196.4, 306.3, 328.2); Vier Bunttonwinkel der Elementarfarben: (25.5, 92.3, 162.2, 271.7)

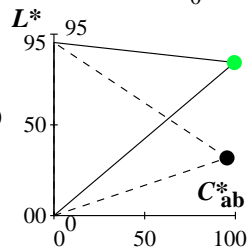
Y Gelb

olv3Mi = 1.0 1.0 0.0
olv3Mo = 1.0 0.796 0.0
LCHMi = 63.6 95.4 90
LCHo = 84.0 94.6 90
tchMi = 0.5 1.0 0.25
tchMo = 0.5 1.0 0.25



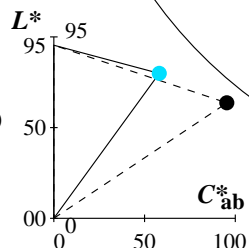
L Laubgrün

olv3Mi = 0.0 1.0 0.0
olv3Mo = 0.0 1.0 0.232
LCHMi = 31.8 95.4 150
LCHo = 84.4 99.5 150
tchMi = 0.5 1.0 0.417
tchMo = 0.5 1.0 0.417



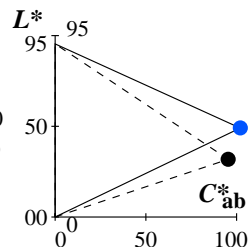
C Cyanblau

olv3Mi = 0.0 1.0 1.0
olv3Mo = 0.0 0.876 1.0
LCHMi = 63.6 95.4 210
LCHo = 79.9 58.1 210
tchMi = 0.5 1.0 0.583
tchMo = 0.5 1.0 0.583



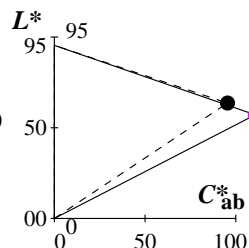
V Violettblau

olv3Mi = 0.0 0.0 1.0
olv3Mo = 0.0 0.33 1.0
LCHMi = 31.8 95.4 270
LCHo = 49.0 102.0 270
tchMi = 0.5 1.0 0.75
tchMo = 0.5 1.0 0.75



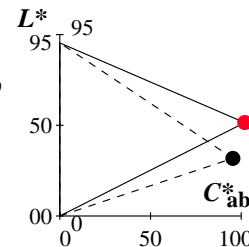
M Magentarot

olv3Mi = 1.0 0.0 1.0
olv3Mo = 1.0 0.0 0.975
LCHMi = 63.6 95.4 330
LCHo = 57.1 110.7 330
tchMi = 0.5 1.0 0.917
tchMo = 0.5 1.0 0.917

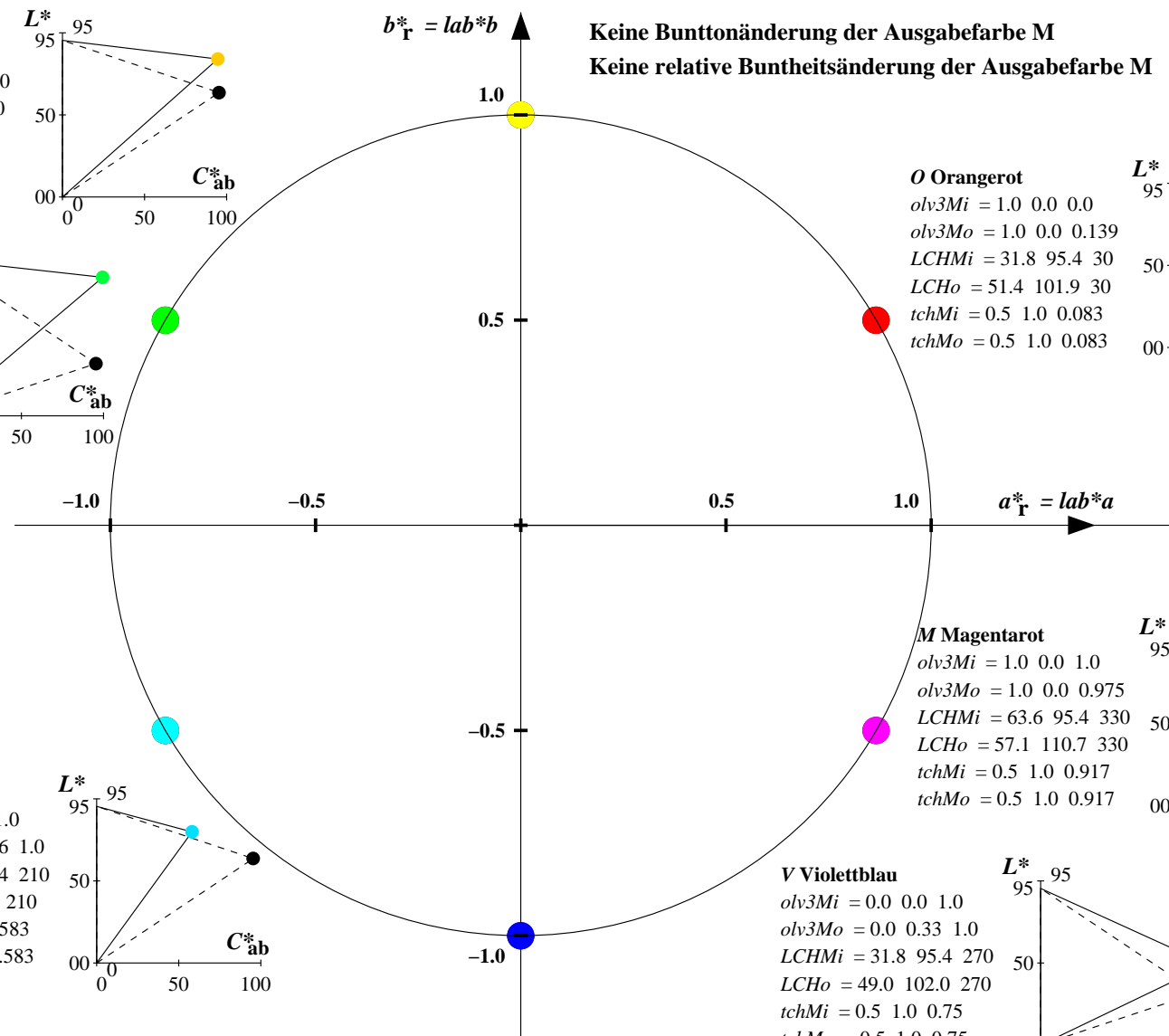


O Orangerot

olv3Mi = 1.0 0.0 0.0
olv3Mo = 1.0 0.0 0.139
LCHMi = 31.8 95.4 30
LCHo = 51.4 101.9 30
tchMi = 0.5 1.0 0.083
tchMo = 0.5 1.0 0.083



Keine Bunttonänderung der Ausgabefarbe M
Keine relative Buntheitsänderung der Ausgabefarbe M



Relatives CIELAB-Buntheitsdiagramm: ($a_R^* = lab^*a$, $b_R^* = lab^*b$) und **absolutes CIELAB Bunttondreiecks-Diagramm:** (L^* , C_{ab}^*) für Ein- (---) und Ausgabe (----) NLS00: Eingabe (i) Farbmatrik-Sytem; Sechs Bunttonwinkel des Farbgerätes: (30.0, 90.0, 150.0, 210.0, 270.0, 330.0); Vier Bunttonwinkel der Elementarfarben: (25.5, 92.3, 162.2, 271.7)
TLS00: Ausgabe (o) Farbmatrik-Sytem; Sechs Bunttonwinkel des Farbgerätes: (40.0, 102.8, 136.0, 196.4, 306.3, 328.2); Vier Bunttonwinkel der Elementarfarben: (25.5, 92.3, 162.2, 271.7)

Y Gelb

olv3Mi = 1.0 1.0 0.0
olv3Mo = 1.0 0.955 0.0
LCHMi = 63.6 95.4 90
LCHo = 90.8 93.4 100
tchMi = 0.5 1.0 0.25
tchMo = 0.5 1.0 0.278

L Laubgrün

olv3Mi = 0.0 1.0 0.0
olv3Mo = 0.0 1.0 0.398
LCHMi = 31.8 95.4 150
LCHo = 84.9 88.4 160
tchMi = 0.5 1.0 0.417
tchMo = 0.5 1.0 0.444

C Cyanblau

olv3Mi = 0.0 1.0 1.0
olv3Mo = 0.0 0.785 1.0
LCHMi = 63.6 95.4 210
LCHo = 74.7 65.4 220
tchMi = 0.5 1.0 0.583
tchMo = 0.5 1.0 0.611

V Violettblau

olv3Mi = 0.0 0.0 1.0
olv3Mo = 0.0 0.239 1.0
LCHMi = 31.8 95.4 270
LCHo = 43.9 109.3 280
tchMi = 0.5 1.0 0.75
tchMo = 0.5 1.0 0.778

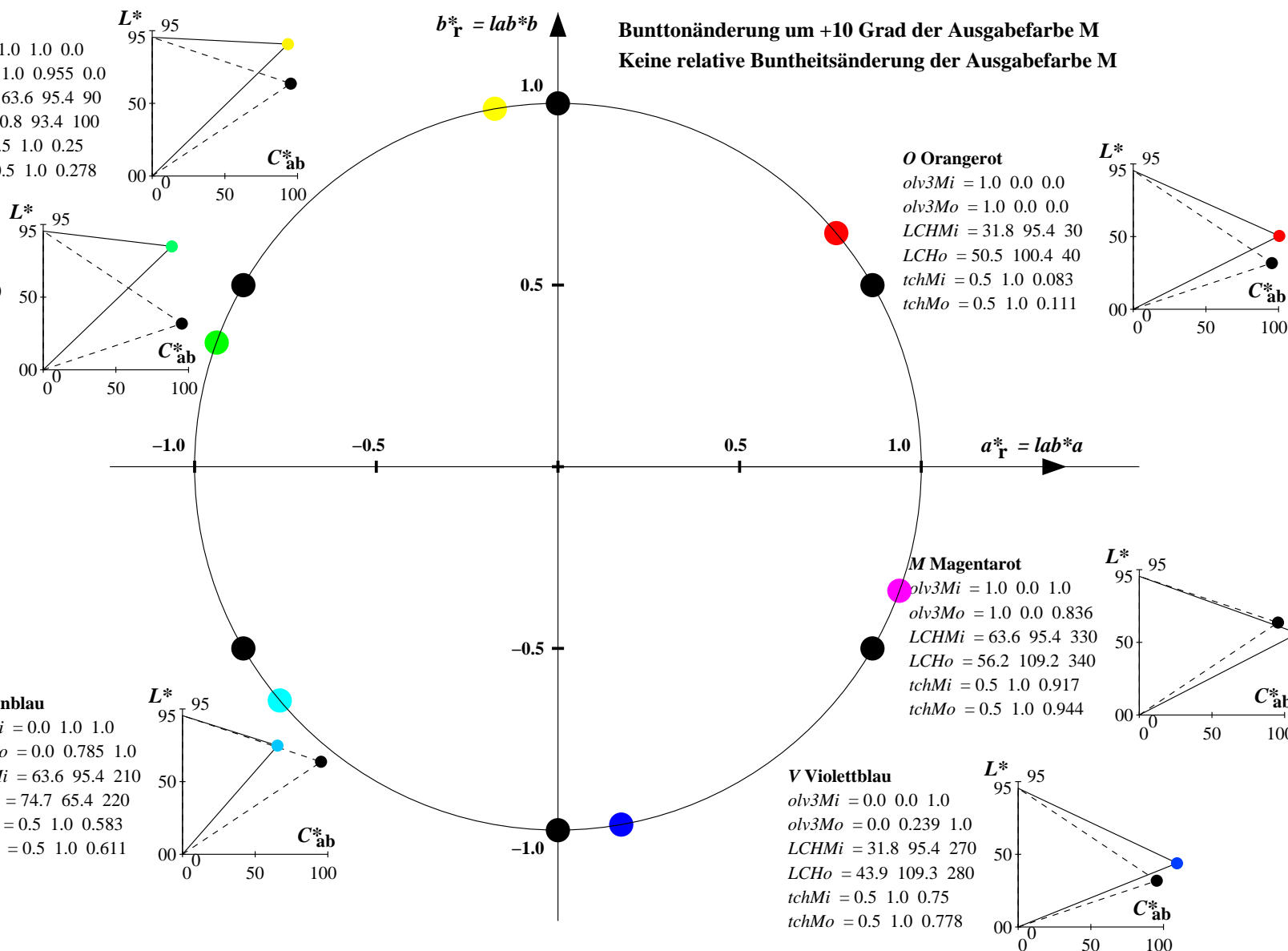
M Magentarot

olv3Mi = 1.0 0.0 1.0
olv3Mo = 1.0 0.0 0.836
LCHMi = 63.6 95.4 330
LCHo = 56.2 109.2 340
tchMi = 0.5 1.0 0.917
tchMo = 0.5 1.0 0.944

O Orangerot

olv3Mi = 1.0 0.0 0.0
olv3Mo = 1.0 0.0 0.0
LCHMi = 31.8 95.4 30
LCHo = 50.5 100.4 40
tchMi = 0.5 1.0 0.083
tchMo = 0.5 1.0 0.111

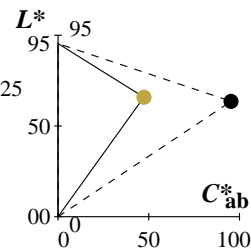
Bunttonänderung um +10 Grad der Ausgabefarbe M
Keine relative Buntheitsänderung der Ausgabefarbe M



Relatives CIELAB-Buntheitsdiagramm: ($a_R^* = lab^*a$, $b_R^* = lab^*b$) und **absolutes CIELAB Bunttondreiecks-Diagramm:** (L^* , C_{ab}^*) für Ein- (---) und Ausgabe (----) NLS00: Eingabe (i) Farbmatrik-Sytem; Sechs Bunttonwinkel des Farbgerätes: (30.0, 90.0, 150.0, 210.0, 270.0, 330.0); Vier Bunttonwinkel der Elementarfarben: (25.5, 92.3, 162.2, 271.7)
TLS00: Ausgabe (o) Farbmatrik-Sytem; Sechs Bunttonwinkel des Farbgerätes: (40.0, 102.8, 136.0, 196.4, 306.3, 328.2); Vier Bunttonwinkel der Elementarfarben: (25.5, 92.3, 162.2, 271.7)

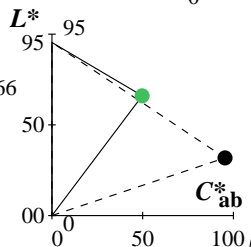
Y Gelb

olv3Mi = 1.0 1.0 0.0
olv3Mo = 0.75 0.648 0.25
LCHMi = 63.6 95.4 90
LCHo = 65.9 47.3 90
tchMi = 0.5 1.0 0.25
tchMo = 0.5 0.5 0.25



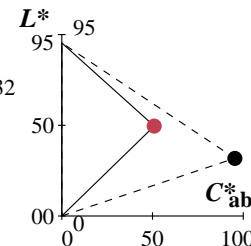
L Laubgrün

olv3Mi = 0.0 1.0 0.0
olv3Mo = 0.25 0.75 0.366
LCHMi = 31.8 95.4 150
LCHo = 66.0 49.8 150
tchMi = 0.5 1.0 0.417
tchMo = 0.5 0.5 0.417



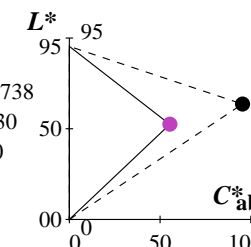
O Orangerot

olv3Mi = 1.0 0.0 0.0
olv3Mo = 0.75 0.25 0.32
LCHMi = 31.8 95.4 30
LCHo = 49.6 50.9 30
tchMi = 0.5 1.0 0.083
tchMo = 0.5 0.5 0.083



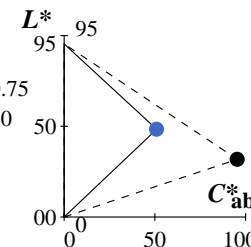
M Magentarot

olv3Mi = 1.0 0.0 1.0
olv3Mo = 0.75 0.25 0.738
LCHMi = 63.6 95.4 330
LCHo = 52.4 55.4 330
tchMi = 0.5 1.0 0.917
tchMo = 0.5 0.5 0.917



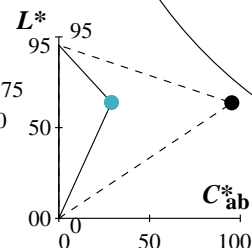
V Violettblau

olv3Mi = 0.0 0.0 1.0
olv3Mo = 0.25 0.415 0.75
LCHMi = 31.8 95.4 270
LCHo = 48.4 51.0 270
tchMi = 0.5 1.0 0.75
tchMo = 0.5 0.5 0.75



C Cyanblau

olv3Mi = 0.0 1.0 1.0
olv3Mo = 0.25 0.688 0.75
LCHMi = 63.6 95.4 210
LCHo = 63.8 29.0 210
tchMi = 0.5 1.0 0.583
tchMo = 0.5 0.5 0.583

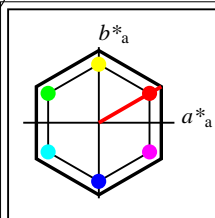


Keine Bunttonänderung der Ausgabefarbe M

Änderung auf halbe relative Buntheit der Ausgabefarbe M

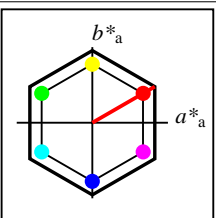
Siehe ähnliche Dateien: <http://www.ps.bam.de/YG64/>
Technische Information: <http://www.ps.bam.de> Version 2.1, io=1,1, CIELAB

BAM-Registrierung: 20061101-YG64/10L/L64G40FP.PS/.PDF BAM-Material: Code=rh4ta
Anwendung für Beurteilung und Messung von Drucker- oder Monitorsystemen
/YG64/ Form: 8/8, Seite: 1/1, Seite: 8
Seite: 8/32



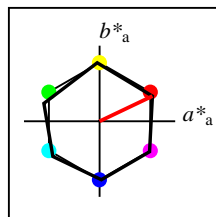
%Umfang
 $u^*_{rel} = 152$
%Regularität
 $g^*_{H,rel} = 100$
 $g^*_{C,rel} = 100$

NLS00					
	$L^*=L^*_a$	a^*_a	b^*_a	$C^*_{ab,a}$	$h^*_{ab,a}$
O _M	31.81	82.62	47.7	95.4	30
Y _M	63.61	0.0	95.4	95.4	90
L _M	31.81	-82.61	47.7	95.4	150
C _M	63.61	-82.61	-47.69	95.4	210
V _M	31.81	0.0	-95.39	95.4	270
M _M	63.61	82.62	-47.69	95.4	330
N _M	0.01	0.0	0.0	0.0	0
W _M	95.41	0.0	0.0	0.0	0
R _{CIE}	39.92	58.74	27.99	65.07	25
J _{CIE}	81.26	-2.88	71.56	71.62	92
G _{CIE}	52.23	-42.41	13.6	44.55	162
B _{CIE}	30.57	1.41	-46.46	46.49	272



%Umfang
 $u^*_{rel} = 152$
%Regularität
 $g^*_{H,rel} = 100$
 $g^*_{C,rel} = 100$

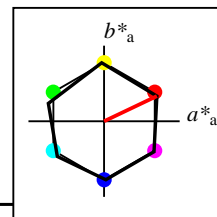
NLS00a; adaptierte CIELAB-Daten					
	$L^*=L^*_a$	a^*_a	b^*_a	$C^*_{ab,a}$	$h^*_{ab,a}$
O _{Ma}	31.81	82.62	47.7	95.4	30
Y _{Ma}	63.61	0.0	95.4	95.4	90
L _{Ma}	31.81	-82.61	47.7	95.4	150
C _{Ma}	63.61	-82.61	-47.69	95.4	210
V _{Ma}	31.81	0.0	-95.39	95.4	270
M _{Ma}	63.61	82.62	-47.69	95.4	330
N _{Ma}	0.01	0.0	0.0	0.0	0
W _{Ma}	95.41	0.0	0.0	0.0	0
R _{CIE}	39.92	58.74	27.99	65.07	25
J _{CIE}	81.26	-2.88	71.56	71.62	92
G _{CIE}	52.23	-42.41	13.6	44.55	162
B _{CIE}	30.57	1.41	-46.46	46.49	272



%Umfang
 $u^*_{rel} = 100$
%Regularität
 $g^*_{H,rel} = 78$
 $g^*_{C,rel} = 100$

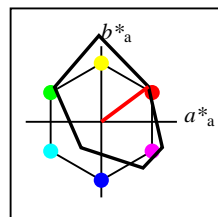
NRS18a; adaptierte CIELAB-Daten					
	$L^*=L^*_a$	a^*_a	b^*_a	$C^*_{ab,a}$	$h^*_{ab,a}$
O _{Ma}	56.71	69.87	33.29	77.4	25
Y _{Ma}	56.71	-3.1	77.34	77.4	92
L _{Ma}	56.71	-73.68	23.63	77.39	162
C _{Ma}	56.71	-61.81	-46.54	77.39	217
V _{Ma}	56.71	2.35	-77.34	77.39	272
M _{Ma}	56.71	66.07	-40.3	77.4	329
N _{Ma}	18.01	0.0	0.0	0.0	0
W _{Ma}	95.41	0.0	0.0	0.0	0
R _{CIE}	39.92	58.74	27.99	65.07	25
J _{CIE}	81.26	-2.88	71.56	71.62	92
G _{CIE}	52.23	-42.41	13.6	44.55	162
B _{CIE}	30.57	1.41	-46.46	46.49	272

Workflow-Wahlen
für Farbmuster:
1. keine Farbänderung
2. Buntton-Änderung
3. Buntheits-Änderung



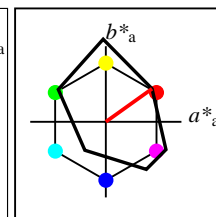
%Umfang
 $u^*_{rel} = 100$
%Regularität
 $g^*_{H,rel} = 78$
 $g^*_{C,rel} = 100$

NRS18a; adaptierte CIELAB-Daten					
	$L^*=L^*_a$	a^*_a	b^*_a	$C^*_{ab,a}$	$h^*_{ab,a}$
O _{Ma}	56.71	69.87	33.29	77.4	25
Y _{Ma}	56.71	-3.1	77.34	77.4	92
L _{Ma}	56.71	-73.68	23.63	77.39	162
C _{Ma}	56.71	-61.81	-46.54	77.39	217
V _{Ma}	56.71	2.35	-77.34	77.39	272
M _{Ma}	56.71	66.07	-40.3	77.4	329
N _{Ma}	18.01	0.0	0.0	0.0	0
W _{Ma}	95.41	0.0	0.0	0.0	0
R _{CIE}	39.92	58.74	27.99	65.07	25
J _{CIE}	81.26	-2.88	71.56	71.62	92
G _{CIE}	52.23	-42.41	13.6	44.55	162
B _{CIE}	30.57	1.41	-46.46	46.49	272



%Umfang
 $u^*_{rel} = 115$
%Regularität
 $g^*_{H,rel} = 28$
 $g^*_{C,rel} = 38$

FRS06a; adaptierte CIELAB-Daten					
	$L^*=L^*_a$	a^*_a	b^*_a	$C^*_{ab,a}$	$h^*_{ab,a}$
O _{Ma}	32.57	62.32	46.49	77.75	37
Y _{Ma}	82.73	-3.16	113.99	114.03	92
L _{Ma}	39.43	-61.79	45.84	76.95	143
C _{Ma}	47.86	-26.79	-34.24	43.49	232
V _{Ma}	10.16	55.12	-61.03	82.24	312
M _{Ma}	34.5	80.68	-33.92	87.52	337
N _{Ma}	6.25	0.0	0.0	0.0	0
W _{Ma}	91.97	0.0	0.0	0.0	0
R _{CIE}	39.92	59.8	31.05	67.38	27
J _{CIE}	81.26	-2.52	76.25	76.29	92
G _{CIE}	52.23	-41.56	17.14	44.96	158
B _{CIE}	30.57	2.63	-43.77	43.86	273



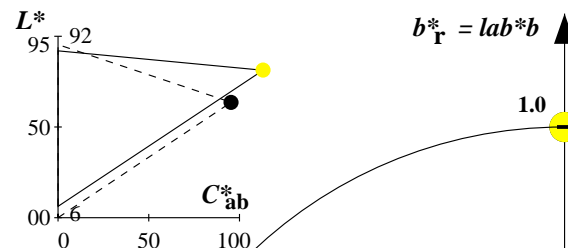
%Umfang
 $u^*_{rel} = 114$
%Regularität
 $g^*_{H,rel} = 28$
 $g^*_{C,rel} = 43$

FRS06					
	$L^*=L^*_a$	a^*_a	b^*_a	$C^*_{ab,a}$	$h^*_{ab,a}$
O _M	32.57	61.14	43.72	75.16	36
Y _M	82.73	-3.5	109.24	109.3	92
L _M	39.43	-62.86	42.8	76.06	146
C _M	47.86	-27.72	-37.61	46.74	234
V _M	10.16	53.56	-62.91	82.63	310
M _M	34.5	79.53	-36.76	87.62	335
N _M	6.25	-1.62	-1.72	2.38	227
W _M	91.97	-0.17	-5.1	5.11	268
R _{CIE}	39.92	58.74	27.99	65.07	25
J _{CIE}	81.26	-2.88	71.56	71.62	92
G _{CIE}	52.23	-42.41	13.6	44.55	162
B _{CIE}	30.57	1.41	-46.46	46.49	272

Relatives CIELAB-Buntheitsdiagramm: ($a_R^* = lab^*a$, $b_R^* = lab^*b$) und absolutes CIELAB Bunttendreiecks-Diagramm: (L^* , C_{ab}^*) für Ein- (---) und Ausgabe (----) NLS00: Eingabe (i) Farbmatrik-Sytem; Sechs Bunttonwinkel des Farbgerätes: (30.0, 90.0, 150.0, 210.0, 270.0, 330.0); Vier Bunttonwinkel der Elementarfarben: (25.5, 92.3, 162.2, 271.7) FRS06: Ausgabe (o) Farbmatrik-Sytem; Sechs Bunttonwinkel des Farbgerätes: (36.7, 91.6, 143.4, 232.0, 312.1, 337.2); Vier Bunttonwinkel der Elementarfarben: (27.4, 91.9, 157.6, 273.4)

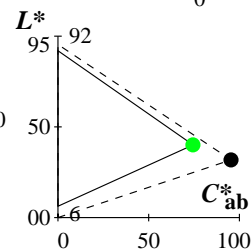
Y Gelb

olv3Mi = 1.0 1.0 0.0
olv3Mo = 1.0 0.971 0.0
LCHMi = 63.6 95.4 90
LCHo = 81.3 113.0 90
tchMi = 0.5 1.0 0.25
tchMo = 0.5 1.0 0.25



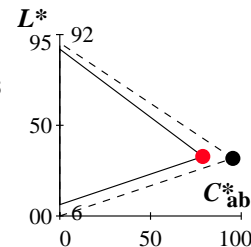
L Laubgrün

olv3Mi = 0.0 1.0 0.0
olv3Mo = 0.0 1.0 0.074
LCHMi = 31.8 95.4 150
LCHo = 40.1 74.5 150
tchMi = 0.5 1.0 0.417
tchMo = 0.5 1.0 0.417



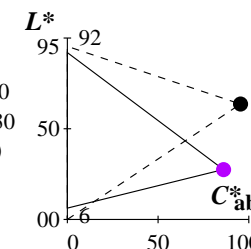
O Orangerot

olv3Mi = 1.0 0.0 0.0
olv3Mo = 1.0 0.0 0.113
LCHMi = 31.8 95.4 30
LCHo = 32.8 78.9 30
tchMi = 0.5 1.0 0.083
tchMo = 0.5 1.0 0.083



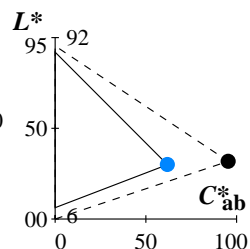
M Magentarot

olv3Mi = 1.0 0.0 1.0
olv3Mo = 0.713 0.0 1.0
LCHMi = 63.6 95.4 330
LCHo = 27.5 86.0 330
tchMi = 0.5 1.0 0.917
tchMo = 0.5 1.0 0.917



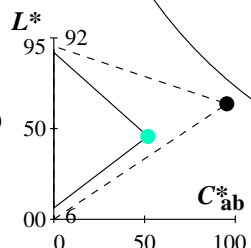
V Violettblau

olv3Mi = 0.0 0.0 1.0
olv3Mo = 0.0 0.525 1.0
LCHMi = 31.8 95.4 270
LCHo = 30.0 61.9 270
tchMi = 0.5 1.0 0.75
tchMo = 0.5 1.0 0.75



C Cyanblau

olv3Mi = 0.0 1.0 1.0
olv3Mo = 0.0 1.0 0.752
LCHMi = 63.6 95.4 210
LCHo = 45.8 51.8 210
tchMi = 0.5 1.0 0.583
tchMo = 0.5 1.0 0.583



Keine Bunttonänderung der Ausgabefarbe M
Keine relative Buntheitsänderung der Ausgabefarbe M

Siehe ähnliche Dateien: <http://www.ps.bam.de/YG64/>
Technische Information: <http://www.ps.bam.de> Version 2.1, io=1,1, CIELAB

BAM-Registrierung: 20061101-YG64/10L/L64G40FP.PS/.PDF BAM-Material: Code=rh4ta
Anwendung für Beurteilung und Messung von Drucker- oder Monitorsystemen
/YG64/ Form: 108, Serie: 1/1, Seite: 10 Seite: 10

Relatives CIELAB-Buntheitsdiagramm: ($a^*_r = lab^*a$, $b^*_r = lab^*b$) und absolutes CIELAB Bunttondreiecks-Diagramm: (L^* , C^*_{ab}) für Ein- (---) und Ausgabe (----) NLS00: Eingabe (i) Farbmatrik-Sytem; Sechs Bunttonwinkel des Farbgerätes: (30.0, 90.0, 150.0, 210.0, 270.0, 330.0); Vier Bunttonwinkel der Elementarfarben: (25.5, 92.3, 162.2, 271.7) FRS06: Ausgabe (o) Farbmatrik-Sytem; Sechs Bunttonwinkel des Farbgerätes: (36.7, 91.6, 143.4, 232.0, 312.1, 337.2); Vier Bunttonwinkel der Elementarfarben: (27.4, 91.9, 157.6, 273.4)

Y Gelb

$olv3Mi = 1.0 \ 1.0 \ 0.0$
 $olv3Mo = 0.838 \ 1.0 \ 0.0$
 $LCHMi = 63.6 \ 95.4 \ 90$
 $LCHo = 75.7 \ 108.0 \ 100$
 $tchMi = 0.5 \ 1.0 \ 0.25$
 $tchMo = 0.5 \ 1.0 \ 0.278$

L Laubgrün

$olv3Mi = 0.0 \ 1.0 \ 0.0$
 $olv3Mo = 0.0 \ 1.0 \ 0.187$
 $LCHMi = 31.8 \ 95.4 \ 150$
 $LCHo = 41.0 \ 70.7 \ 160$
 $tchMi = 0.5 \ 1.0 \ 0.417$
 $tchMo = 0.5 \ 1.0 \ 0.444$

C Cyanblau

$olv3Mi = 0.0 \ 1.0 \ 1.0$
 $olv3Mo = 0.0 \ 1.0 \ 0.865$
 $LCHMi = 63.6 \ 95.4 \ 210$
 $LCHo = 46.7 \ 48.0 \ 220$
 $tchMi = 0.5 \ 1.0 \ 0.583$
 $tchMo = 0.5 \ 1.0 \ 0.611$

V Violettblau

$olv3Mi = 0.0 \ 0.0 \ 1.0$
 $olv3Mo = 0.0 \ 0.4 \ 1.0$
 $LCHMi = 31.8 \ 95.4 \ 270$
 $LCHo = 25.3 \ 66.7 \ 280$
 $tchMi = 0.5 \ 1.0 \ 0.75$
 $tchMo = 0.5 \ 1.0 \ 0.778$

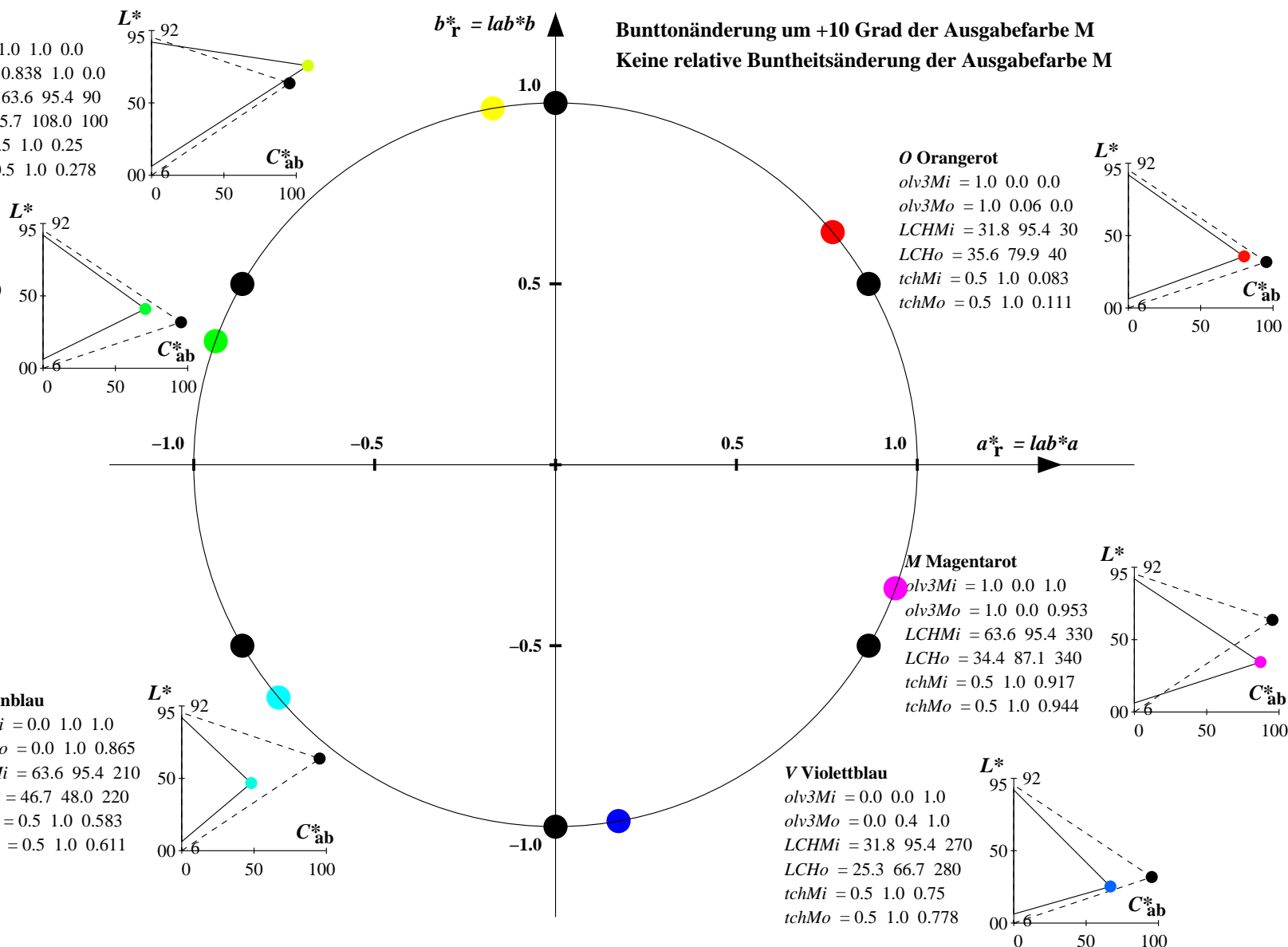
M Magentarot

$olv3Mi = 1.0 \ 0.0 \ 1.0$
 $olv3Mo = 1.0 \ 0.0 \ 0.953$
 $LCHMi = 63.6 \ 95.4 \ 330$
 $LCHo = 34.4 \ 87.1 \ 340$
 $tchMi = 0.5 \ 1.0 \ 0.917$
 $tchMo = 0.5 \ 1.0 \ 0.944$

O Orangerot

$olv3Mi = 1.0 \ 0.0 \ 0.0$
 $olv3Mo = 1.0 \ 0.06 \ 0.0$
 $LCHMi = 31.8 \ 95.4 \ 30$
 $LCHo = 35.6 \ 79.9 \ 40$
 $tchMi = 0.5 \ 1.0 \ 0.083$
 $tchMo = 0.5 \ 1.0 \ 0.111$

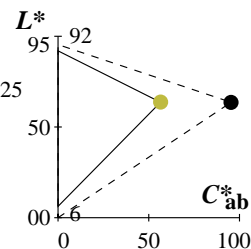
Bunttonänderung um +10 Grad der Ausgabefarbe M
Keine relative Buntheitsänderung der Ausgabefarbe M



Relatives CIELAB-Buntheitsdiagramm: ($a_R^* = lab^*a$, $b_R^* = lab^*b$) und absolutes CIELAB Bunttondreiecks-Diagramm: (L^* , C_{ab}^*) für Ein- (---) und Ausgabe (----) NLS00: Eingabe (i) Farbmatrik-Sytem; Sechs Bunttonwinkel des Farbgerätes: (30.0, 90.0, 150.0, 210.0, 270.0, 330.0); Vier Bunttonwinkel der Elementarfarben: (25.5, 92.3, 162.2, 271.7) FRS06: Ausgabe (o) Farbmatrik-Sytem; Sechs Bunttonwinkel des Farbgerätes: (36.7, 91.6, 143.4, 232.0, 312.1, 337.2); Vier Bunttonwinkel der Elementarfarben: (27.4, 91.9, 157.6, 273.4)

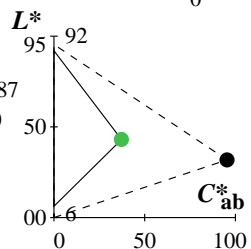
Y Gelb

olv3Mi = 1.0 1.0 0.0
olv3Mo = 0.75 0.735 0.25
LCHMi = 63.6 95.4 90
LCHo = 63.6 56.5 90
tchMi = 0.5 1.0 0.25
tchMo = 0.5 0.5 0.25



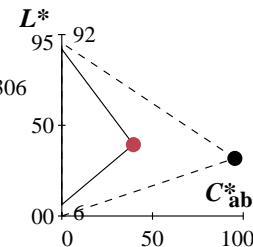
L Laubgrün

olv3Mi = 0.0 1.0 0.0
olv3Mo = 0.25 0.75 0.287
LCHMi = 31.8 95.4 150
LCHo = 43.0 37.2 150
tchMi = 0.5 1.0 0.417
tchMo = 0.5 0.5 0.417



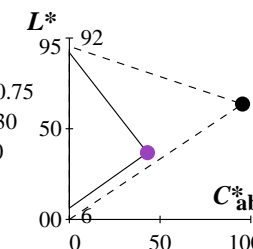
O Orangerot

olv3Mi = 1.0 0.0 0.0
olv3Mo = 0.75 0.25 0.306
LCHMi = 31.8 95.4 30
LCHo = 39.4 39.4 30
tchMi = 0.5 1.0 0.083
tchMo = 0.5 0.5 0.083



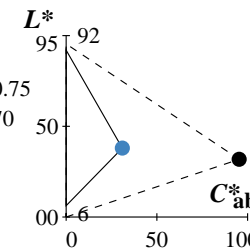
M Magentarot

olv3Mi = 1.0 0.0 1.0
olv3Mo = 0.607 0.25 0.75
LCHMi = 63.6 95.4 330
LCHo = 36.8 43.0 330
tchMi = 0.5 1.0 0.917
tchMo = 0.5 0.5 0.917



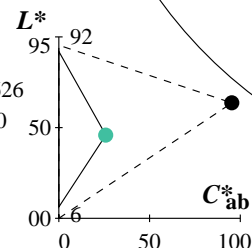
V Violettblau

olv3Mi = 0.0 0.0 1.0
olv3Mo = 0.25 0.513 0.75
LCHMi = 31.8 95.4 270
LCHo = 38.0 30.9 270
tchMi = 0.5 1.0 0.75
tchMo = 0.5 0.5 0.75



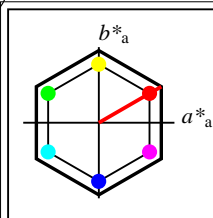
C Cyanblau

olv3Mi = 0.0 1.0 1.0
olv3Mo = 0.25 0.75 0.626
LCHMi = 63.6 95.4 210
LCHo = 45.9 25.9 210
tchMi = 0.5 1.0 0.583
tchMo = 0.5 0.5 0.583



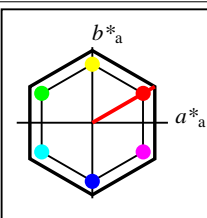
Keine Bunttonänderung der Ausgabefarbe M

Änderung auf halbe relative Buntheit der Ausgabefarbe M



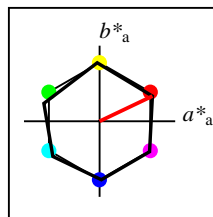
%Umfang
 $u^*_{rel} = 152$
%Regularität
 $g^*_{H,rel} = 100$
 $g^*_{C,rel} = 100$

NLS00	$L^*=L^*_a$	a^*_a	b^*_a	$C^*_{ab,a}$	$h^*_{ab,a}$
O _M	31.81	82.62	47.7	95.4	30
Y _M	63.61	0.0	95.4	95.4	90
L _M	31.81	-82.61	47.7	95.4	150
C _M	63.61	-82.61	-47.69	95.4	210
V _M	31.81	0.0	-95.39	95.4	270
M _M	63.61	82.62	-47.69	95.4	330
N _M	0.01	0.0	0.0	0.0	0
W _M	95.41	0.0	0.0	0.0	0
R _{CIE}	39.92	58.74	27.99	65.07	25
J _{CIE}	81.26	-2.88	71.56	71.62	92
G _{CIE}	52.23	-42.41	13.6	44.55	162
B _{CIE}	30.57	1.41	-46.46	46.49	272



%Umfang
 $u^*_{rel} = 152$
%Regularität
 $g^*_{H,rel} = 100$
 $g^*_{C,rel} = 100$

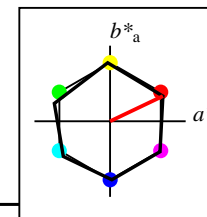
NLS00a; adaptierte CIELAB-Daten	$L^*=L^*_a$	a^*_a	b^*_a	$C^*_{ab,a}$	$h^*_{ab,a}$
O _{Ma}	31.81	82.62	47.7	95.4	30
Y _{Ma}	63.61	0.0	95.4	95.4	90
L _{Ma}	31.81	-82.61	47.7	95.4	150
C _{Ma}	63.61	-82.61	-47.69	95.4	210
V _{Ma}	31.81	0.0	-95.39	95.4	270
M _{Ma}	63.61	82.62	-47.69	95.4	330
N _{Ma}	0.01	0.0	0.0	0.0	0
W _{Ma}	95.41	0.0	0.0	0.0	0
R _{CIE}	39.92	58.74	27.99	65.07	25
J _{CIE}	81.26	-2.88	71.56	71.62	92
G _{CIE}	52.23	-42.41	13.6	44.55	162
B _{CIE}	30.57	1.41	-46.46	46.49	272



%Umfang
 $u^*_{rel} = 100$
%Regularität
 $g^*_{H,rel} = 78$
 $g^*_{C,rel} = 100$

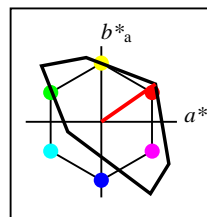
NRS18a; adaptierte CIELAB-Daten	$L^*=L^*_a$	a^*_a	b^*_a	$C^*_{ab,a}$	$h^*_{ab,a}$
O _{Ma}	56.71	69.87	33.29	77.4	25
Y _{Ma}	56.71	-3.1	77.34	77.4	92
L _{Ma}	56.71	-73.68	23.63	77.39	162
C _{Ma}	56.71	-61.81	-46.54	77.39	217
V _{Ma}	56.71	2.35	-77.34	77.39	272
M _{Ma}	56.71	66.07	-40.3	77.4	329
N _{Ma}	18.01	0.0	0.0	0.0	0
W _{Ma}	95.41	0.0	0.0	0.0	0
R _{CIE}	39.92	58.74	27.99	65.07	25
J _{CIE}	81.26	-2.88	71.56	71.62	92
G _{CIE}	52.23	-42.41	13.6	44.55	162
B _{CIE}	30.57	1.41	-46.46	46.49	272

Workflow-Wahlen
für Farbmuster:
1. keine Farbänderung
2. Buntton-Änderung
3. Buntheits-Änderung



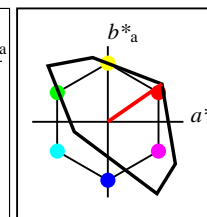
%Umfang
 $u^*_{rel} = 100$
%Regularität
 $g^*_{H,rel} = 78$
 $g^*_{C,rel} = 100$

NRS18a; adaptierte CIELAB-Daten	$L^*=L^*_a$	a^*_a	b^*_a	$C^*_{ab,a}$	$h^*_{ab,a}$
O _{Ma}	56.71	69.87	33.29	77.4	25
Y _{Ma}	56.71	-3.1	77.34	77.4	92
L _{Ma}	56.71	-73.68	23.63	77.39	162
C _{Ma}	56.71	-61.81	-46.54	77.39	217
V _{Ma}	56.71	2.35	-77.34	77.39	272
M _{Ma}	56.71	66.07	-40.3	77.4	329
N _{Ma}	18.01	0.0	0.0	0.0	0
W _{Ma}	95.41	0.0	0.0	0.0	0
R _{CIE}	39.92	58.74	27.99	65.07	25
J _{CIE}	81.26	-2.88	71.56	71.62	92
G _{CIE}	52.23	-42.41	13.6	44.55	162
B _{CIE}	30.57	1.41	-46.46	46.49	272



%Umfang
 $u^*_{rel} = 118$
%Regularität
 $g^*_{H,rel} = 22$
 $g^*_{C,rel} = 40$

TLS18a; adaptierte CIELAB-Daten	$L^*=L^*_a$	a^*_a	b^*_a	$C^*_{ab,a}$	$h^*_{ab,a}$
O _{Ma}	52.76	71.63	49.88	87.29	35
Y _{Ma}	92.74	-20.02	84.97	87.3	103
L _{Ma}	84.0	-78.98	73.94	108.2	137
C _{Ma}	87.14	-44.41	-13.11	46.32	196
V _{Ma}	35.47	64.92	-95.06	115.12	304
M _{Ma}	59.01	89.33	-55.67	105.26	328
N _{Ma}	18.01	0.0	0.0	0.0	0
W _{Ma}	95.41	0.0	0.0	0.0	0
R _{CIE}	39.92	58.74	27.99	65.07	25
J _{CIE}	81.26	-2.88	71.56	71.62	92
G _{CIE}	52.23	-42.41	13.6	44.55	162
B _{CIE}	30.57	1.41	-46.46	46.49	272



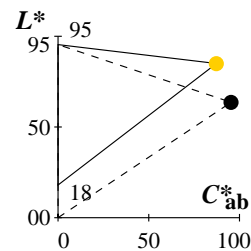
%Umfang
 $u^*_{rel} = 118$
%Regularität
 $g^*_{H,rel} = 22$
 $g^*_{C,rel} = 40$

TLS18	$L^*=L^*_a$	a^*_a	b^*_a	$C^*_{ab,a}$	$h^*_{ab,a}$
O _M	52.76	71.63	49.88	87.29	35
Y _M	92.74	-20.02	84.97	87.3	103
L _M	84.0	-78.98	73.94	108.2	137
C _M	87.14	-44.41	-13.11	46.32	196
V _M	35.47	64.92	-95.06	115.12	304
M _M	59.01	89.33	-55.67	105.26	328
N _M	18.01	0.0	0.0	0.0	0
W _M	95.41	0.0	0.0	0.0	0
R _{CIE}	39.92	58.74	27.99	65.07	25
J _{CIE}	81.26	-2.88	71.56	71.62	92
G _{CIE}	52.23	-42.41	13.6	44.55	162
B _{CIE}	30.57	1.41	-46.46	46.49	272

Relatives CIELAB-Buntheitsdiagramm: ($a_R^* = lab^*a$, $b_R^* = lab^*b$) und **absolutes CIELAB Bunttondreiecks-Diagramm:** (L^* , C_{ab}^*) für Ein- (---) und Ausgabe (----) NLS00: Eingabe (i) Farbmatrik-Sytem; Sechs Bunttonwinkel des Farbgerätes: (30.0, 90.0, 150.0, 210.0, 270.0, 330.0); Vier Bunttonwinkel der Elementarfarben: (25.5, 92.3, 162.2, 271.7)
TLS18: Ausgabe (o) Farbmatrik-Sytem; Sechs Bunttonwinkel des Farbgerätes: (34.9, 103.3, 136.9, 196.5, 304.3, 328.1); Vier Bunttonwinkel der Elementarfarben: (25.5, 92.3, 162.2, 271.7)

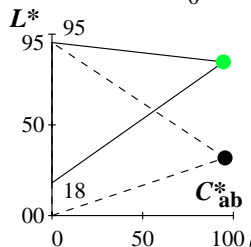
Y Gelb

$olv3Mi = 1.0 \ 1.0 \ 0.0$
 $olv3Mo = 1.0 \ 0.806 \ 0.0$
 $LCHMi = 63.6 \ 95.4 \ 90$
 $LCHo = 85.0 \ 87.3 \ 90$
 $tchMi = 0.5 \ 1.0 \ 0.25$
 $tchMo = 0.5 \ 1.0 \ 0.25$



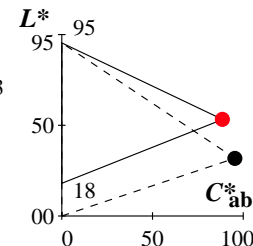
L Laubgrün

$olv3Mi = 0.0 \ 1.0 \ 0.0$
 $olv3Mo = 0.0 \ 1.0 \ 0.22$
 $LCHMi = 31.8 \ 95.4 \ 150$
 $LCHo = 84.7 \ 94.6 \ 150$
 $tchMi = 0.5 \ 1.0 \ 0.417$
 $tchMo = 0.5 \ 1.0 \ 0.417$



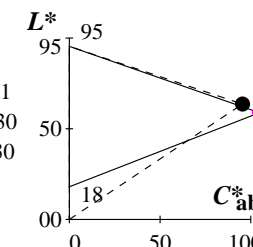
O Orangerot

$olv3Mi = 1.0 \ 0.0 \ 0.0$
 $olv3Mo = 1.0 \ 0.0 \ 0.073$
 $LCHMi = 31.8 \ 95.4 \ 30$
 $LCHo = 53.2 \ 88.6 \ 30$
 $tchMi = 0.5 \ 1.0 \ 0.083$
 $tchMo = 0.5 \ 1.0 \ 0.083$



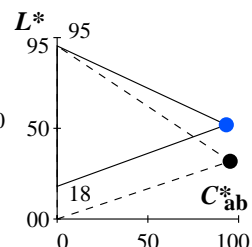
M Magentarot

$olv3Mi = 1.0 \ 0.0 \ 1.0$
 $olv3Mo = 1.0 \ 0.0 \ 0.971$
 $LCHMi = 63.6 \ 95.4 \ 330$
 $LCHo = 58.8 \ 104.7 \ 330$
 $tchMi = 0.5 \ 1.0 \ 0.917$
 $tchMo = 0.5 \ 1.0 \ 0.917$



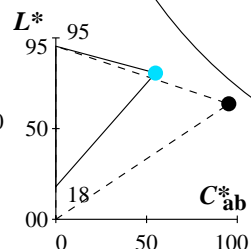
V Violettblau

$olv3Mi = 0.0 \ 0.0 \ 1.0$
 $olv3Mo = 0.0 \ 0.318 \ 1.0$
 $LCHMi = 31.8 \ 95.4 \ 270$
 $LCHo = 51.9 \ 93.2 \ 270$
 $tchMi = 0.5 \ 1.0 \ 0.75$
 $tchMo = 0.5 \ 1.0 \ 0.75$



C Cyanblau

$olv3Mi = 0.0 \ 1.0 \ 1.0$
 $olv3Mo = 0.0 \ 0.874 \ 1.0$
 $LCHMi = 63.6 \ 95.4 \ 210$
 $LCHo = 80.7 \ 55.0 \ 210$
 $tchMi = 0.5 \ 1.0 \ 0.583$
 $tchMo = 0.5 \ 1.0 \ 0.583$



Keine Bunttonänderung der Ausgabefarbe M

Keine relative Buntheitsänderung der Ausgabefarbe M

Siehe ähnliche Dateien: <http://www.ps.bam.de/YG64/>
Technische Information: <http://www.ps.bam.de> Version 2.1, io=1,1, CIELAB

BAM-Registrierung: 20061101-YG64/10L/L64G40FP.PS/.PDF BAM-Material: Code=rh4ta
Anwendung für Beurteilung und Messung von Drucker- oder Monitorsystemen
/YG64/ Form: 148, Serie: 1/1, Seite: 14 Seite 14/14

Relatives CIELAB-Buntheitsdiagramm: ($a^*_r = lab^*a$, $b^*_r = lab^*b$) und absolutes CIELAB Bunttondreiecks-Diagramm: (L^* , C^*_{ab}) für Ein- (---) und Ausgabe (----) NLS00: Eingabe (i) Farbmatrik-Sytem; Sechs Bunttonwinkel des Farbgerätes: (30.0, 90.0, 150.0, 210.0, 270.0, 330.0); Vier Bunttonwinkel der Elementarfarben: (25.5, 92.3, 162.2, 271.7)
TLS18: Ausgabe (o) Farbmatrik-Sytem; Sechs Bunttonwinkel des Farbgerätes: (34.9, 103.3, 136.9, 196.5, 304.3, 328.1); Vier Bunttonwinkel der Elementarfarben: (25.5, 92.3, 162.2, 271.7)

Y Gelb

$olv3Mi = 1.0 \ 1.0 \ 0.0$
 $olv3Mo = 1.0 \ 0.952 \ 0.0$
 $LCHMi = 63.6 \ 95.4 \ 90$
 $LCHo = 90.8 \ 87.3 \ 100$
 $tchMi = 0.5 \ 1.0 \ 0.25$
 $tchMo = 0.5 \ 1.0 \ 0.278$

L Laubgrün

$olv3Mi = 0.0 \ 1.0 \ 0.0$
 $olv3Mo = 0.0 \ 1.0 \ 0.388$
 $LCHMi = 31.8 \ 95.4 \ 150$
 $LCHo = 85.2 \ 84.2 \ 160$
 $tchMi = 0.5 \ 1.0 \ 0.417$
 $tchMo = 0.5 \ 1.0 \ 0.444$

C Cyanblau

$olv3Mi = 0.0 \ 1.0 \ 1.0$
 $olv3Mo = 0.0 \ 0.782 \ 1.0$
 $LCHMi = 63.6 \ 95.4 \ 210$
 $LCHo = 75.9 \ 61.3 \ 220$
 $tchMi = 0.5 \ 1.0 \ 0.583$
 $tchMo = 0.5 \ 1.0 \ 0.611$

V Violettblau

$olv3Mi = 0.0 \ 0.0 \ 1.0$
 $olv3Mo = 0.0 \ 0.225 \ 1.0$
 $LCHMi = 31.8 \ 95.4 \ 270$
 $LCHo = 47.1 \ 99.6 \ 280$
 $tchMi = 0.5 \ 1.0 \ 0.75$
 $tchMo = 0.5 \ 1.0 \ 0.778$

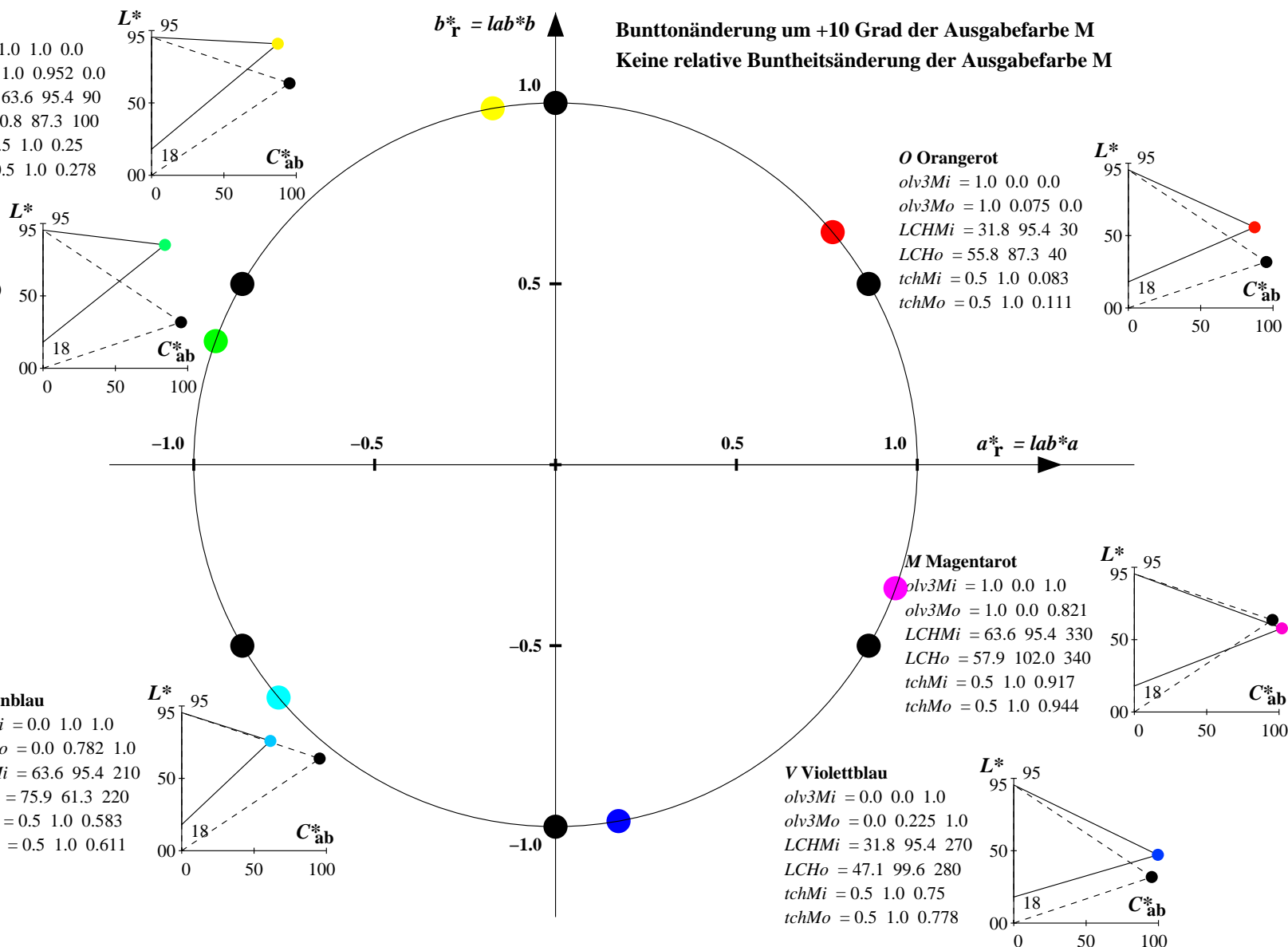
M Magentarot

$olv3Mi = 1.0 \ 0.0 \ 1.0$
 $olv3Mo = 1.0 \ 0.0 \ 0.821$
 $LCHMi = 63.6 \ 95.4 \ 330$
 $LCHo = 57.9 \ 102.0 \ 340$
 $tchMi = 0.5 \ 1.0 \ 0.917$
 $tchMo = 0.5 \ 1.0 \ 0.944$

O Orangerot

$olv3Mi = 1.0 \ 0.0 \ 0.0$
 $olv3Mo = 1.0 \ 0.075 \ 0.0$
 $LCHMi = 31.8 \ 95.4 \ 30$
 $LCHo = 55.8 \ 87.3 \ 40$
 $tchMi = 0.5 \ 1.0 \ 0.083$
 $tchMo = 0.5 \ 1.0 \ 0.111$

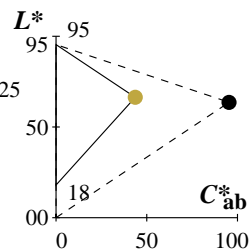
Bunttonänderung um +10 Grad der Ausgabefarbe M
Keine relative Buntheitsänderung der Ausgabefarbe M



Relatives CIELAB-Buntheitsdiagramm: ($a_R^* = lab^*a$, $b_R^* = lab^*b$) und **absolutes CIELAB Bunttondreiecks-Diagramm:** (L^* , C_{ab}^*) für Ein- (---) und Ausgabe (----) NLS00: Eingabe (i) Farbmatrik-Sytem; Sechs Bunttonwinkel des Farbgerätes: (30.0, 90.0, 150.0, 210.0, 270.0, 330.0); Vier Bunttonwinkel der Elementarfarben: (25.5, 92.3, 162.2, 271.7)
TLS18: Ausgabe (o) Farbmatrik-Sytem; Sechs Bunttonwinkel des Farbgerätes: (34.9, 103.3, 136.9, 196.5, 304.3, 328.1); Vier Bunttonwinkel der Elementarfarben: (25.5, 92.3, 162.2, 271.7)

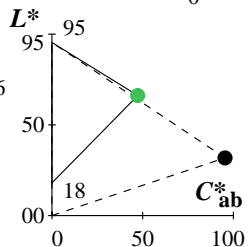
Y Gelb

$olv3Mi = 1.0 \ 1.0 \ 0.0$
 $olv3Mo = 0.75 \ 0.653 \ 0.25$
 $LCHMi = 63.6 \ 95.4 \ 90$
 $LCHo = 66.3 \ 43.6 \ 90$
 $tchMi = 0.5 \ 1.0 \ 0.25$
 $tchMo = 0.5 \ 0.5 \ 0.25$



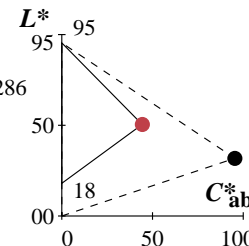
L Laubgrün

$olv3Mi = 0.0 \ 1.0 \ 0.0$
 $olv3Mo = 0.25 \ 0.75 \ 0.36$
 $LCHMi = 31.8 \ 95.4 \ 150$
 $LCHo = 66.2 \ 47.3 \ 150$
 $tchMi = 0.5 \ 1.0 \ 0.417$
 $tchMo = 0.5 \ 0.5 \ 0.417$



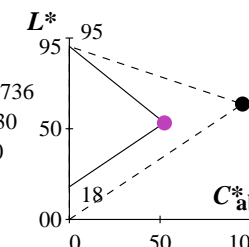
O Orangerot

$olv3Mi = 1.0 \ 0.0 \ 0.0$
 $olv3Mo = 0.75 \ 0.25 \ 0.286$
 $LCHMi = 31.8 \ 95.4 \ 30$
 $LCHo = 50.5 \ 44.3 \ 30$
 $tchMi = 0.5 \ 1.0 \ 0.083$
 $tchMo = 0.5 \ 0.5 \ 0.083$



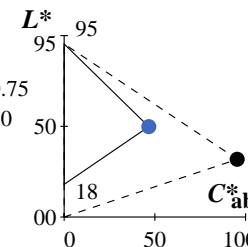
M Magentarot

$olv3Mi = 1.0 \ 0.0 \ 1.0$
 $olv3Mo = 0.75 \ 0.25 \ 0.736$
 $LCHMi = 63.6 \ 95.4 \ 330$
 $LCHo = 53.3 \ 52.4 \ 330$
 $tchMi = 0.5 \ 1.0 \ 0.917$
 $tchMo = 0.5 \ 0.5 \ 0.917$



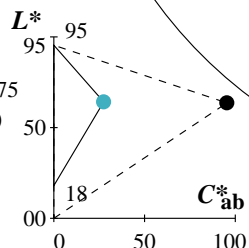
V Violettblau

$olv3Mi = 0.0 \ 0.0 \ 1.0$
 $olv3Mo = 0.25 \ 0.409 \ 0.75$
 $LCHMi = 31.8 \ 95.4 \ 270$
 $LCHo = 49.8 \ 46.6 \ 270$
 $tchMi = 0.5 \ 1.0 \ 0.75$
 $tchMo = 0.5 \ 0.5 \ 0.75$



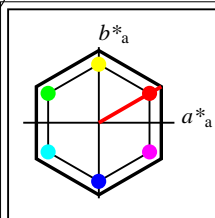
C Cyanblau

$olv3Mi = 0.0 \ 1.0 \ 1.0$
 $olv3Mo = 0.25 \ 0.687 \ 0.75$
 $LCHMi = 63.6 \ 95.4 \ 210$
 $LCHo = 64.2 \ 27.5 \ 210$
 $tchMi = 0.5 \ 1.0 \ 0.583$
 $tchMo = 0.5 \ 0.5 \ 0.583$



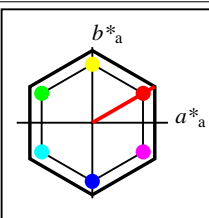
Keine Bunttonänderung der Ausgabefarbe M

Änderung auf halbe relative Buntheit der Ausgabefarbe M



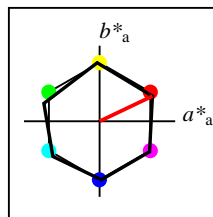
%Umfang
 $u^*_{rel} = 152$
%Regularität
 $g^*_{H,rel} = 100$
 $g^*_{C,rel} = 100$

NLS00	$L^*=L^*_a$	a^*_a	b^*_a	$C^*_{ab,a}$	$h^*_{ab,a}$
O _M	31.81	82.62	47.7	95.4	30
Y _M	63.61	0.0	95.4	95.4	90
L _M	31.81	-82.61	47.7	95.4	150
C _M	63.61	-82.61	-47.69	95.4	210
V _M	31.81	0.0	-95.39	95.4	270
M _M	63.61	82.62	-47.69	95.4	330
N _M	0.01	0.0	0.0	0.0	0
W _M	95.41	0.0	0.0	0.0	0
R _{CIE}	39.92	58.74	27.99	65.07	25
J _{CIE}	81.26	-2.88	71.56	71.62	92
G _{CIE}	52.23	-42.41	13.6	44.55	162
B _{CIE}	30.57	1.41	-46.46	46.49	272



%Umfang
 $u^*_{rel} = 152$
%Regularität
 $g^*_{H,rel} = 100$
 $g^*_{C,rel} = 100$

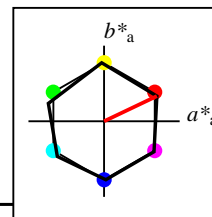
NLS00a; adaptierte CIELAB-Daten	$L^*=L^*_a$	a^*_a	b^*_a	$C^*_{ab,a}$	$h^*_{ab,a}$
O _{Ma}	31.81	82.62	47.7	95.4	30
Y _{Ma}	63.61	0.0	95.4	95.4	90
L _{Ma}	31.81	-82.61	47.7	95.4	150
C _{Ma}	63.61	-82.61	-47.69	95.4	210
V _{Ma}	31.81	0.0	-95.39	95.4	270
M _{Ma}	63.61	82.62	-47.69	95.4	330
N _{Ma}	0.01	0.0	0.0	0.0	0
W _{Ma}	95.41	0.0	0.0	0.0	0
R _{CIE}	39.92	58.74	27.99	65.07	25
J _{CIE}	81.26	-2.88	71.56	71.62	92
G _{CIE}	52.23	-42.41	13.6	44.55	162
B _{CIE}	30.57	1.41	-46.46	46.49	272



%Umfang
 $u^*_{rel} = 100$
%Regularität
 $g^*_{H,rel} = 78$
 $g^*_{C,rel} = 100$

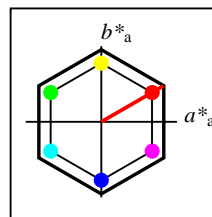
NRS18a; adaptierte CIELAB-Daten	$L^*=L^*_a$	a^*_a	b^*_a	$C^*_{ab,a}$	$h^*_{ab,a}$
O _{Ma}	56.71	69.87	33.29	77.4	25
Y _{Ma}	56.71	-3.1	77.34	77.4	92
L _{Ma}	56.71	-73.68	23.63	77.39	162
C _{Ma}	56.71	-61.81	-46.54	77.39	217
V _{Ma}	56.71	2.35	-77.34	77.39	272
M _{Ma}	56.71	66.07	-40.3	77.4	329
N _{Ma}	18.01	0.0	0.0	0.0	0
W _{Ma}	95.41	0.0	0.0	0.0	0
R _{CIE}	39.92	58.74	27.99	65.07	25
J _{CIE}	81.26	-2.88	71.56	71.62	92
G _{CIE}	52.23	-42.41	13.6	44.55	162
B _{CIE}	30.57	1.41	-46.46	46.49	272

Workflow-Wahlen
für Farbmuster:
1. keine Farbänderung
2. Buntton-Änderung
3. Buntheits-Änderung



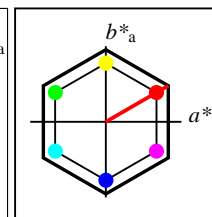
%Umfang
 $u^*_{rel} = 100$
%Regularität
 $g^*_{H,rel} = 78$
 $g^*_{C,rel} = 100$

NRS18a; adaptierte CIELAB-Daten	$L^*=L^*_a$	a^*_a	b^*_a	$C^*_{ab,a}$	$h^*_{ab,a}$
O _{Ma}	56.71	69.87	33.29	77.4	25
Y _{Ma}	56.71	-3.1	77.34	77.4	92
L _{Ma}	56.71	-73.68	23.63	77.39	162
C _{Ma}	56.71	-61.81	-46.54	77.39	217
V _{Ma}	56.71	2.35	-77.34	77.39	272
M _{Ma}	56.71	66.07	-40.3	77.4	329
N _{Ma}	18.01	0.0	0.0	0.0	0
W _{Ma}	95.41	0.0	0.0	0.0	0
R _{CIE}	39.92	58.74	27.99	65.07	25
J _{CIE}	81.26	-2.88	71.56	71.62	92
G _{CIE}	52.23	-42.41	13.6	44.55	162
B _{CIE}	30.57	1.41	-46.46	46.49	272



%Umfang
 $u^*_{rel} = 152$
%Regularität
 $g^*_{H,rel} = 100$
 $g^*_{C,rel} = 100$

NLS00a; adaptierte CIELAB-Daten	$L^*=L^*_a$	a^*_a	b^*_a	$C^*_{ab,a}$	$h^*_{ab,a}$
O _{Ma}	31.81	82.62	47.7	95.4	30
Y _{Ma}	63.61	0.0	95.4	95.4	90
L _{Ma}	31.81	-82.61	47.7	95.4	150
C _{Ma}	63.61	-82.61	-47.69	95.4	210
V _{Ma}	31.81	0.0	-95.39	95.4	270
M _{Ma}	63.61	82.62	-47.69	95.4	330
N _{Ma}	0.01	0.0	0.0	0.0	0
W _{Ma}	95.41	0.0	0.0	0.0	0
R _{CIE}	39.92	58.74	27.99	65.07	25
J _{CIE}	81.26	-2.88	71.56	71.62	92
G _{CIE}	52.23	-42.41	13.6	44.55	162
B _{CIE}	30.57	1.41	-46.46	46.49	272



%Umfang
 $u^*_{rel} = 152$
%Regularität
 $g^*_{H,rel} = 100$
 $g^*_{C,rel} = 100$

NLS00	$L^*=L^*_a$	a^*_a	b^*_a	$C^*_{ab,a}$	$h^*_{ab,a}$
O _M	31.81	82.62	47.7	95.4	30
Y _M	63.61	0.0	95.4	95.4	90
L _M	31.81	-82.61	47.7	95.4	150
C _M	63.61	-82.61	-47.69	95.4	210
V _M	31.81	0.0	-95.39	95.4	270
M _M	63.61	82.62	-47.69	95.4	330
N _M	0.01	0.0	0.0	0.0	0
W _M	95.41	0.0	0.0	0.0	0
R _{CIE}	39.92	58.74	27.99	65.07	25
J _{CIE}	81.26	-2.88	71.56	71.62	92
G _{CIE}	52.23	-42.41	13.6	44.55	162
B _{CIE}	30.57	1.41	-46.46	46.49	272

Relatives CIELAB-Buntheitsdiagramm: ($a_R^* = lab^*a$, $b_R^* = lab^*b$) und absolutes CIELAB Bunttendreiecks-Diagramm: (L^* , C_{ab}^*) für Ein- (---) und Ausgabe (----) NLS00: Eingabe (i) Farbmatrik-Sytem; Sechs Bunttonwinkel des Farbgerätes: (30.0, 90.0, 150.0, 210.0, 270.0, 330.0); Vier Bunttonwinkel der Elementarfarben: (25.5, 92.3, 162.2, 271.7)
NLS00: Ausgabe (o) Farbmatrik-Sytem; Sechs Bunttonwinkel des Farbgerätes: (30.0, 90.0, 150.0, 210.0, 270.0, 330.0); Vier Bunttonwinkel der Elementarfarben: (25.5, 92.3, 162.2, 271.7)

Y Gelb

olv3Mi = 1.0 1.0 0.0
olv3Mo = 1.0 1.0 0.0
LCHMi = 63.6 95.4 90
LCHo = 63.6 95.4 90
tchMi = 0.5 1.0 0.25
tchMo = 0.5 1.0 0.25

L Laubgrün

olv3Mi = 0.0 1.0 0.0
olv3Mo = 0.0 1.0 0.0
LCHMi = 31.8 95.4 150
LCHo = 31.8 95.4 150
tchMi = 0.5 1.0 0.417
tchMo = 0.5 1.0 0.417

C Cyanblau

olv3Mi = 0.0 1.0 1.0
olv3Mo = 0.0 1.0 1.0
LCHMi = 63.6 95.4 210
LCHo = 63.6 95.4 210
tchMi = 0.5 1.0 0.583
tchMo = 0.5 1.0 0.583

V Violettblau

olv3Mi = 0.0 0.0 1.0
olv3Mo = 0.0 0.0 1.0
LCHMi = 31.8 95.4 270
LCHo = 31.8 95.4 270
tchMi = 0.5 1.0 0.75
tchMo = 0.5 1.0 0.75

M Magentarot

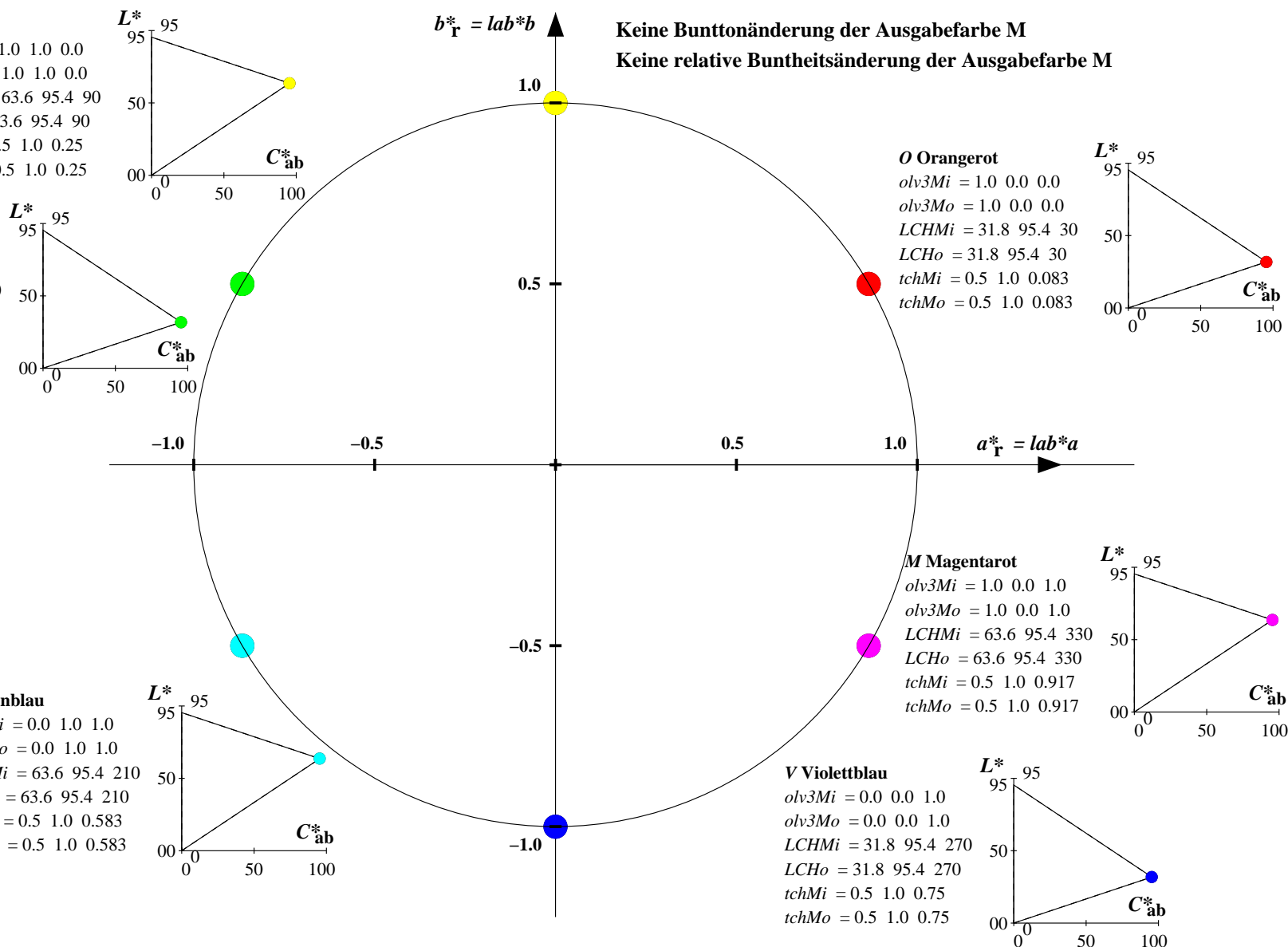
olv3Mi = 1.0 0.0 1.0
olv3Mo = 1.0 0.0 1.0
LCHMi = 63.6 95.4 330
LCHo = 63.6 95.4 330
tchMi = 0.5 1.0 0.917
tchMo = 0.5 1.0 0.917

O Orangerot

olv3Mi = 1.0 0.0 0.0
olv3Mo = 1.0 0.0 0.0
LCHMi = 31.8 95.4 30
LCHo = 31.8 95.4 30
tchMi = 0.5 1.0 0.083
tchMo = 0.5 1.0 0.083

Keine Bunttonänderung der Ausgabefarbe M

Keine relative Buntheitsänderung der Ausgabefarbe M



Relatives CIELAB-Buntheitsdiagramm: ($a_R^* = lab^*a$, $b_R^* = lab^*b$) und absolutes CIELAB Bunttondreiecks-Diagramm: (L^* , C_{ab}^*) für Ein- (---) und Ausgabe (----) NLS00: Eingabe (i) Farbmatrik-Sytem; Sechs Bunttonwinkel des Farbgerätes: (30.0, 90.0, 150.0, 210.0, 270.0, 330.0); Vier Bunttonwinkel der Elementarfarben: (25.5, 92.3, 162.2, 271.7)
NLS00: Ausgabe (o) Farbmatrik-Sytem; Sechs Bunttonwinkel des Farbgerätes: (30.0, 90.0, 150.0, 210.0, 270.0, 330.0); Vier Bunttonwinkel der Elementarfarben: (25.5, 92.3, 162.2, 271.7)

Y Gelb

olv3Mi = 1.0 1.0 0.0
olv3Mo = 0.833 1.0 0.0
LCHMi = 63.6 95.4 90
LCHo = 58.3 95.4 100
tchMi = 0.5 1.0 0.25
tchMo = 0.5 1.0 0.278

L Laubgrün

olv3Mi = 0.0 1.0 0.0
olv3Mo = 0.0 1.0 0.167
LCHMi = 31.8 95.4 150
LCHo = 37.1 95.4 160
tchMi = 0.5 1.0 0.417
tchMo = 0.5 1.0 0.444

C Cyanblau

olv3Mi = 0.0 1.0 1.0
olv3Mo = 0.0 0.833 1.0
LCHMi = 63.6 95.4 210
LCHo = 58.3 95.4 220
tchMi = 0.5 1.0 0.583
tchMo = 0.5 1.0 0.611

O Orangerot

olv3Mi = 1.0 0.0 0.0
olv3Mo = 1.0 0.167 0.0
LCHMi = 31.8 95.4 30
LCHo = 37.1 95.4 40
tchMi = 0.5 1.0 0.083
tchMo = 0.5 1.0 0.111

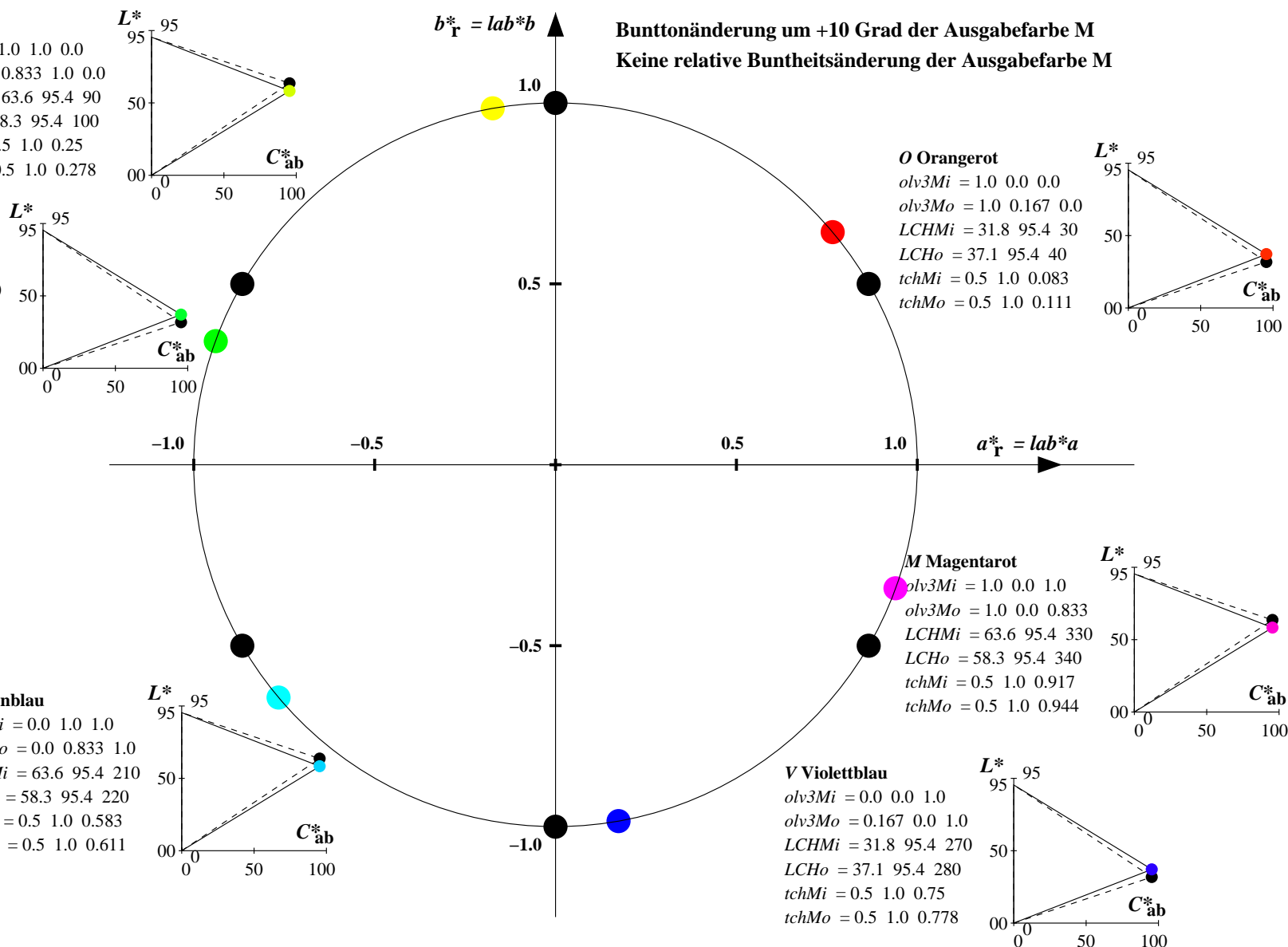
M Magentarot

olv3Mi = 1.0 0.0 1.0
olv3Mo = 1.0 0.0 0.833
LCHMi = 63.6 95.4 330
LCHo = 58.3 95.4 340
tchMi = 0.5 1.0 0.917
tchMo = 0.5 1.0 0.944

V Violettblau

olv3Mi = 0.0 0.0 1.0
olv3Mo = 0.167 0.0 1.0
LCHMi = 31.8 95.4 270
LCHo = 37.1 95.4 280
tchMi = 0.5 1.0 0.75
tchMo = 0.5 1.0 0.778

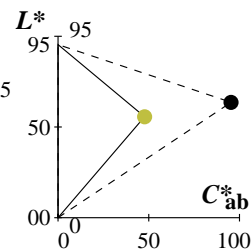
Bunttonänderung um +10 Grad der Ausgabefarbe M
Keine relative Buntheitsänderung der Ausgabefarbe M



Relatives CIELAB-Buntheitsdiagramm: ($a_R^* = lab^*a$, $b_R^* = lab^*b$) und absolutes CIELAB Bunttondreiecks-Diagramm: (L^* , C_{ab}^*) für Ein- (---) und Ausgabe (----) NLS00: Eingabe (i) Farbmatrik-Sytem; Sechs Bunttonwinkel des Farbgerätes: (30.0, 90.0, 150.0, 210.0, 270.0, 330.0); Vier Bunttonwinkel der Elementarfarben: (25.5, 92.3, 162.2, 271.7)
NLS00: Ausgabe (o) Farbmatrik-Sytem; Sechs Bunttonwinkel des Farbgerätes: (30.0, 90.0, 150.0, 210.0, 270.0, 330.0); Vier Bunttonwinkel der Elementarfarben: (25.5, 92.3, 162.2, 271.7)

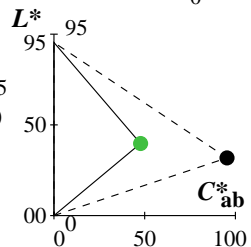
Y Gelb

olv3Mi = 1.0 1.0 0.0
olv3Mo = 0.75 0.75 0.25
LCHMi = 63.6 95.4 90
LCHo = 55.7 47.7 90
tchMi = 0.5 1.0 0.25
tchMo = 0.5 0.5 0.25



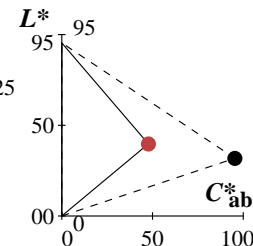
L Laubgrün

olv3Mi = 0.0 1.0 0.0
olv3Mo = 0.25 0.75 0.25
LCHMi = 31.8 95.4 150
LCHo = 39.8 47.7 150
tchMi = 0.5 1.0 0.417
tchMo = 0.5 0.5 0.417



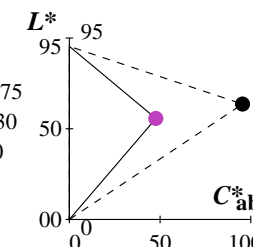
O Orangerot

olv3Mi = 1.0 0.0 0.0
olv3Mo = 0.75 0.25 0.25
LCHMi = 31.8 95.4 30
LCHo = 39.8 47.7 30
tchMi = 0.5 1.0 0.083
tchMo = 0.5 0.5 0.083



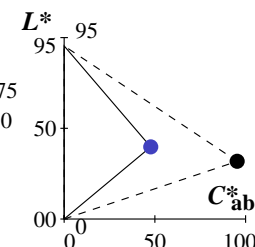
M Magentarot

olv3Mi = 1.0 0.0 1.0
olv3Mo = 0.75 0.25 0.75
LCHMi = 63.6 95.4 330
LCHo = 55.7 47.7 330
tchMi = 0.5 1.0 0.917
tchMo = 0.5 0.5 0.917



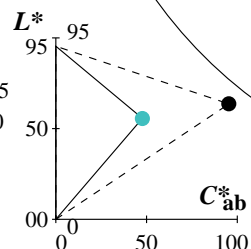
V Violettblau

olv3Mi = 0.0 0.0 1.0
olv3Mo = 0.25 0.25 0.75
LCHMi = 31.8 95.4 270
LCHo = 39.8 47.7 270
tchMi = 0.5 1.0 0.75
tchMo = 0.5 0.5 0.75



C Cyanblau

olv3Mi = 0.0 1.0 1.0
olv3Mo = 0.25 0.75 0.75
LCHMi = 63.6 95.4 210
LCHo = 55.7 47.7 210
tchMi = 0.5 1.0 0.583
tchMo = 0.5 0.5 0.583

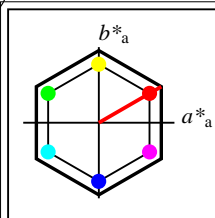


Keine Bunttonänderung der Ausgabefarbe M

Änderung auf halbe relative Buntheit der Ausgabefarbe M

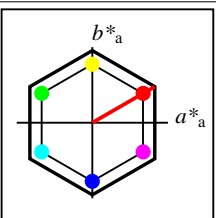
Siehe ähnliche Dateien: <http://www.ps.bam.de/YG64/>
Technische Information: <http://www.ps.bam.de> Version 2.1, io=1,1, CIELAB

BAM-Registrierung: 20061101-YG64/10L/L64G40FP.PS/.PDF BAM-Material: Code=rh4ta
Anwendung für Beurteilung und Messung von Drucker- oder Monitorsystemen
/YG64/ Form: 20/8, Serie: 1/1, Seite: 20 Seite 20/32



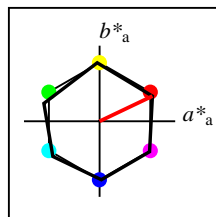
%Umfang
 $u^*_{rel} = 152$
%Regularität
 $g^*_{H,rel} = 100$
 $g^*_{C,rel} = 100$

NLS00	$L^*=L^*_a$	a^*_a	b^*_a	$C^*_{ab,a}$	$h^*_{ab,a}$
O _M	31.81	82.62	47.7	95.4	30
Y _M	63.61	0.0	95.4	95.4	90
L _M	31.81	-82.61	47.7	95.4	150
C _M	63.61	-82.61	-47.69	95.4	210
V _M	31.81	0.0	-95.39	95.4	270
M _M	63.61	82.62	-47.69	95.4	330
N _M	0.01	0.0	0.0	0.0	0
W _M	95.41	0.0	0.0	0.0	0
R _{CIE}	39.92	58.74	27.99	65.07	25
J _{CIE}	81.26	-2.88	71.56	71.62	92
G _{CIE}	52.23	-42.41	13.6	44.55	162
B _{CIE}	30.57	1.41	-46.46	46.49	272



%Umfang
 $u^*_{rel} = 152$
%Regularität
 $g^*_{H,rel} = 100$
 $g^*_{C,rel} = 100$

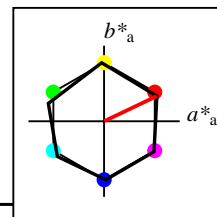
NLS00a; adaptierte CIELAB-Daten	$L^*=L^*_a$	a^*_a	b^*_a	$C^*_{ab,a}$	$h^*_{ab,a}$
O _{Ma}	31.81	82.62	47.7	95.4	30
Y _{Ma}	63.61	0.0	95.4	95.4	90
L _{Ma}	31.81	-82.61	47.7	95.4	150
C _{Ma}	63.61	-82.61	-47.69	95.4	210
V _{Ma}	31.81	0.0	-95.39	95.4	270
M _{Ma}	63.61	82.62	-47.69	95.4	330
N _{Ma}	0.01	0.0	0.0	0.0	0
W _{Ma}	95.41	0.0	0.0	0.0	0
R _{CIE}	39.92	58.74	27.99	65.07	25
J _{CIE}	81.26	-2.88	71.56	71.62	92
G _{CIE}	52.23	-42.41	13.6	44.55	162
B _{CIE}	30.57	1.41	-46.46	46.49	272



%Umfang
 $u^*_{rel} = 100$
%Regularität
 $g^*_{H,rel} = 78$
 $g^*_{C,rel} = 100$

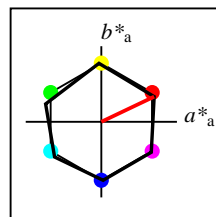
NRS18a; adaptierte CIELAB-Daten	$L^*=L^*_a$	a^*_a	b^*_a	$C^*_{ab,a}$	$h^*_{ab,a}$
O _{Ma}	56.71	69.87	33.29	77.4	25
Y _{Ma}	56.71	-3.1	77.34	77.4	92
L _{Ma}	56.71	-73.68	23.63	77.39	162
C _{Ma}	56.71	-61.81	-46.54	77.39	217
V _{Ma}	56.71	2.35	-77.34	77.39	272
M _{Ma}	56.71	66.07	-40.3	77.4	329
N _{Ma}	18.01	0.0	0.0	0.0	0
W _{Ma}	95.41	0.0	0.0	0.0	0
R _{CIE}	39.92	58.74	27.99	65.07	25
J _{CIE}	81.26	-2.88	71.56	71.62	92
G _{CIE}	52.23	-42.41	13.6	44.55	162
B _{CIE}	30.57	1.41	-46.46	46.49	272

Workflow-Wahlen
für Farbmuster:
1. keine Farbänderung
2. Buntton-Änderung
3. Buntheits-Änderung



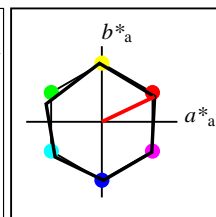
%Umfang
 $u^*_{rel} = 100$
%Regularität
 $g^*_{H,rel} = 78$
 $g^*_{C,rel} = 100$

NRS18a; adaptierte CIELAB-Daten	$L^*=L^*_a$	a^*_a	b^*_a	$C^*_{ab,a}$	$h^*_{ab,a}$
O _{Ma}	56.71	69.87	33.29	77.4	25
Y _{Ma}	56.71	-3.1	77.34	77.4	92
L _{Ma}	56.71	-73.68	23.63	77.39	162
C _{Ma}	56.71	-61.81	-46.54	77.39	217
V _{Ma}	56.71	2.35	-77.34	77.39	272
M _{Ma}	56.71	66.07	-40.3	77.4	329
N _{Ma}	18.01	0.0	0.0	0.0	0
W _{Ma}	95.41	0.0	0.0	0.0	0
R _{CIE}	39.92	58.74	27.99	65.07	25
J _{CIE}	81.26	-2.88	71.56	71.62	92
G _{CIE}	52.23	-42.41	13.6	44.55	162
B _{CIE}	30.57	1.41	-46.46	46.49	272



%Umfang
 $u^*_{rel} = 100$
%Regularität
 $g^*_{H,rel} = 78$
 $g^*_{C,rel} = 100$

NRS18a; adaptierte CIELAB-Daten	$L^*=L^*_a$	a^*_a	b^*_a	$C^*_{ab,a}$	$h^*_{ab,a}$
O _{Ma}	56.71	69.87	33.29	77.4	25
Y _{Ma}	56.71	-3.1	77.34	77.4	92
L _{Ma}	56.71	-73.68	23.63	77.39	162
C _{Ma}	56.71	-61.81	-46.54	77.39	217
V _{Ma}	56.71	2.35	-77.34	77.39	272
M _{Ma}	56.71	66.07	-40.3	77.4	329
N _{Ma}	18.01	0.0	0.0	0.0	0
W _{Ma}	95.41	0.0	0.0	0.0	0
R _{CIE}	39.92	58.74	27.99	65.07	25
J _{CIE}	81.26	-2.88	71.56	71.62	92
G _{CIE}	52.23	-42.41	13.6	44.55	162
B _{CIE}	30.57	1.41	-46.46	46.49	272



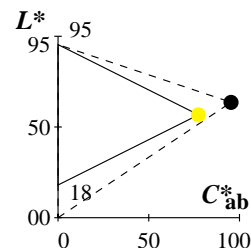
%Umfang
 $u^*_{rel} = 100$
%Regularität
 $g^*_{H,rel} = 78$
 $g^*_{C,rel} = 100$

NRS18	$L^*=L^*_a$	a^*_a	b^*_a	$C^*_{ab,a}$	$h^*_{ab,a}$
O _M	56.71	69.87	33.29	77.4	25
Y _M	56.71	-3.1	77.34	77.4	92
L _M	56.71	-73.68	23.63	77.39	162
C _M	56.71	-61.81	-46.54	77.39	217
V _M	56.71	2.35	-77.34	77.39	272
M _M	56.71	66.07	-40.3	77.4	329
N _M	18.01	0.0	0.0	0.0	0
W _M	95.41	0.0	0.0	0.0	0
R _{CIE}	39.92	58.74	27.99	65.07	25
J _{CIE}	81.26	-2.88	71.56	71.62	92
G _{CIE}	52.23	-42.41	13.6	44.55	162
B _{CIE}	30.57	1.41	-46.46	46.49	272

Relatives CIELAB-Buntheitsdiagramm: ($a_R^* = lab^*a$, $b_R^* = lab^*b$) und absolutes CIELAB Bunttondreiecks-Diagramm: (L^* , C_{ab}^*) für Ein- (---) und Ausgabe (----) NLS00: Eingabe (i) Farbmatrik-Sytem; Sechs Bunttonwinkel des Farbgerätes: (30.0, 90.0, 150.0, 210.0, 270.0, 330.0); Vier Bunttonwinkel der Elementarfarben: (25.5, 92.3, 162.2, 271.7) NRS18: Ausgabe (o) Farbmatrik-Sytem; Sechs Bunttonwinkel des Farbgerätes: (25.5, 92.3, 162.2, 217.0, 271.7, 328.6); Vier Bunttonwinkel der Elementarfarben: (25.5, 92.3, 162.2, 271.7)

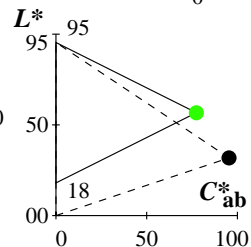
Y Gelb

$olv3Mi = 1.0 \ 1.0 \ 0.0$
 $olv3Mo = 1.0 \ 0.966 \ 0.0$
 $LCHMi = 63.6 \ 95.4 \ 90$
 $LCHo = 56.7 \ 77.4 \ 90$
 $tchMi = 0.5 \ 1.0 \ 0.25$
 $tchMo = 0.5 \ 1.0 \ 0.25$



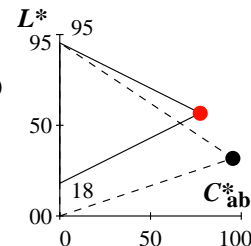
L Laubgrün

$olv3Mi = 0.0 \ 1.0 \ 0.0$
 $olv3Mo = 0.175 \ 1.0 \ 0.0$
 $LCHMi = 31.8 \ 95.4 \ 150$
 $LCHo = 56.7 \ 77.4 \ 150$
 $tchMi = 0.5 \ 1.0 \ 0.417$
 $tchMo = 0.5 \ 1.0 \ 0.417$



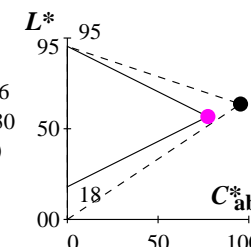
O Orangerot

$olv3Mi = 1.0 \ 0.0 \ 0.0$
 $olv3Mo = 1.0 \ 0.068 \ 0.0$
 $LCHMi = 31.8 \ 95.4 \ 30$
 $LCHo = 56.7 \ 77.4 \ 30$
 $tchMi = 0.5 \ 1.0 \ 0.083$
 $tchMo = 0.5 \ 1.0 \ 0.083$



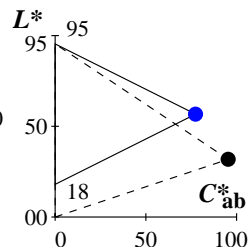
M Magentarot

$olv3Mi = 1.0 \ 0.0 \ 1.0$
 $olv3Mo = 1.0 \ 0.0 \ 0.976$
 $LCHMi = 63.6 \ 95.4 \ 330$
 $LCHo = 56.7 \ 77.4 \ 330$
 $tchMi = 0.5 \ 1.0 \ 0.917$
 $tchMo = 0.5 \ 1.0 \ 0.917$



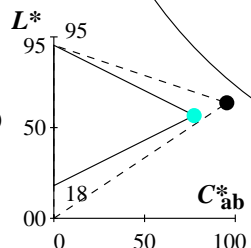
V Violettblau

$olv3Mi = 0.0 \ 0.0 \ 1.0$
 $olv3Mo = 0.0 \ 0.032 \ 1.0$
 $LCHMi = 31.8 \ 95.4 \ 270$
 $LCHo = 56.7 \ 77.4 \ 270$
 $tchMi = 0.5 \ 1.0 \ 0.75$
 $tchMo = 0.5 \ 1.0 \ 0.75$



C Cyanblau

$olv3Mi = 0.0 \ 1.0 \ 1.0$
 $olv3Mo = 0.0 \ 1.0 \ 0.873$
 $LCHMi = 63.6 \ 95.4 \ 210$
 $LCHo = 56.7 \ 77.4 \ 210$
 $tchMi = 0.5 \ 1.0 \ 0.583$
 $tchMo = 0.5 \ 1.0 \ 0.583$



Keine Bunttonänderung der Ausgabefarbe M
Keine relative Buntheitsänderung der Ausgabefarbe M

Siehe ähnliche Dateien: <http://www.ps.bam.de/YG64/>
Technische Information: <http://www.ps.bam.de> Version 2.1, io=1,1, CIELAB

BAM-Registrierung: 20061101-YG64/10L/L64G40FP.PS/.PDF BAM-Material: Code=rh4ta
Anwendung für Beurteilung und Messung von Drucker- oder Monitorsystemen
/YG64/ Form: 228, Serie: 1/1, Seite: 22 Seite: 22

Relatives CIELAB-Buntheitsdiagramm: ($a_R^* = lab^*a$, $b_R^* = lab^*b$) und absolutes CIELAB Bunttondreiecks-Diagramm: (L^* , C_{ab}^*) für Ein- (---) und Ausgabe (----) NLS00: Eingabe (i) Farbmatrik-Sytem; Sechs Bunttonwinkel des Farbgerätes: (30.0, 90.0, 150.0, 210.0, 270.0, 330.0); Vier Bunttonwinkel der Elementarfarben: (25.5, 92.3, 162.2, 271.7) NRS18: Ausgabe (o) Farbmatrik-Sytem; Sechs Bunttonwinkel des Farbgerätes: (25.5, 92.3, 162.2, 217.0, 271.7, 328.6); Vier Bunttonwinkel der Elementarfarben: (25.5, 92.3, 162.2, 271.7)

Y Gelb

$olv3Mi = 1.0 \ 1.0 \ 0.0$
 $olv3Mo = 0.89 \ 1.0 \ 0.0$
 $LCHMi = 63.6 \ 95.4 \ 90$
 $LCHo = 56.7 \ 77.4 \ 100$
 $tchMi = 0.5 \ 1.0 \ 0.25$
 $tchMo = 0.5 \ 1.0 \ 0.278$

L Laubgrün

$olv3Mi = 0.0 \ 1.0 \ 0.0$
 $olv3Mo = 0.032 \ 1.0 \ 0.0$
 $LCHMi = 31.8 \ 95.4 \ 150$
 $LCHo = 56.7 \ 77.4 \ 160$
 $tchMi = 0.5 \ 1.0 \ 0.417$
 $tchMo = 0.5 \ 1.0 \ 0.444$

C Cyanblau

$olv3Mi = 0.0 \ 1.0 \ 1.0$
 $olv3Mo = 0.0 \ 0.945 \ 1.0$
 $LCHMi = 63.6 \ 95.4 \ 210$
 $LCHo = 56.7 \ 77.4 \ 220$
 $tchMi = 0.5 \ 1.0 \ 0.583$
 $tchMo = 0.5 \ 1.0 \ 0.611$

V Violettblau

$olv3Mi = 0.0 \ 0.0 \ 1.0$
 $olv3Mo = 0.145 \ 0.0 \ 1.0$
 $LCHMi = 31.8 \ 95.4 \ 270$
 $LCHo = 56.7 \ 77.4 \ 280$
 $tchMi = 0.5 \ 1.0 \ 0.75$
 $tchMo = 0.5 \ 1.0 \ 0.778$

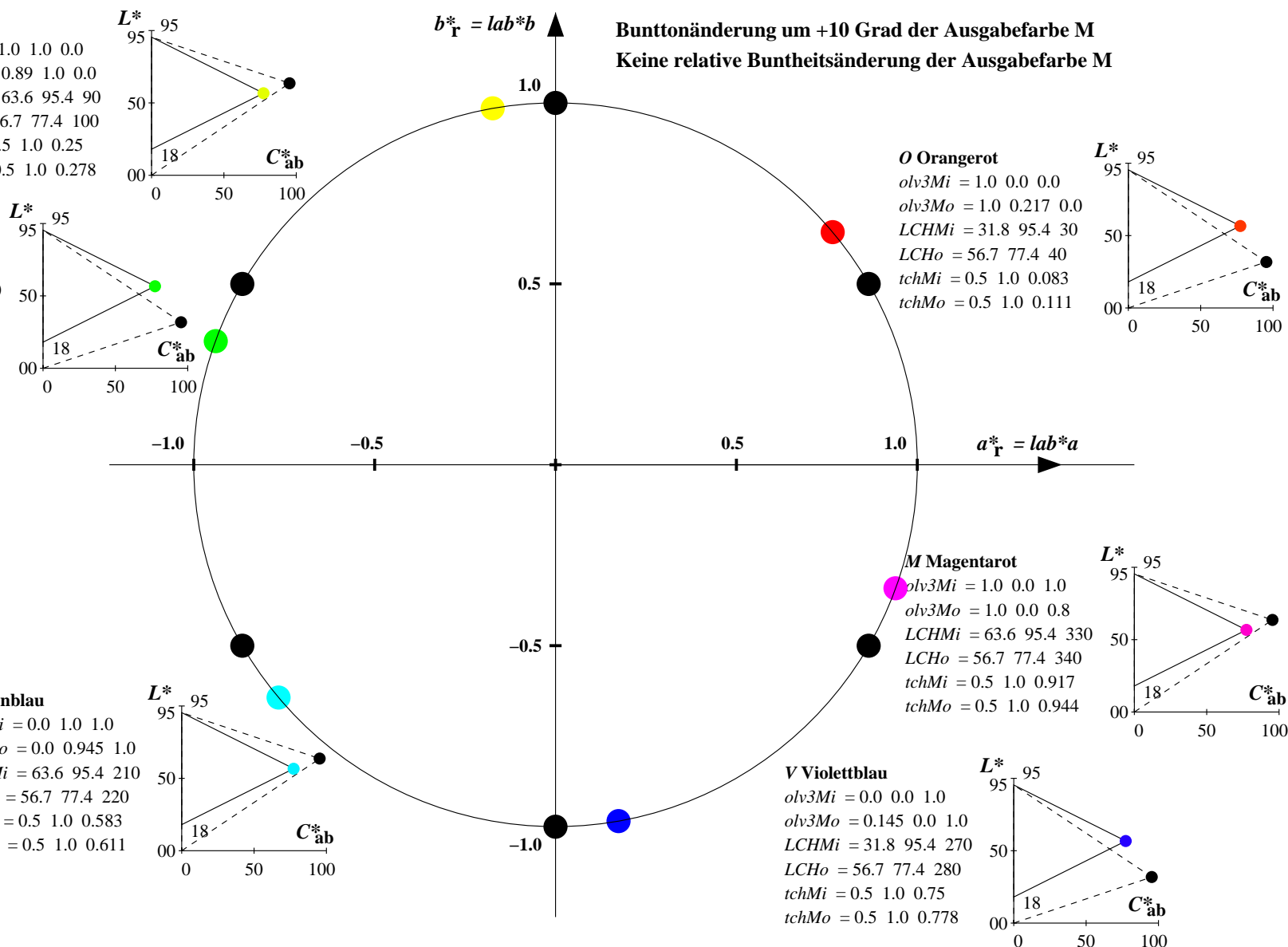
M Magentarot

$olv3Mi = 1.0 \ 0.0 \ 1.0$
 $olv3Mo = 1.0 \ 0.0 \ 0.8$
 $LCHMi = 63.6 \ 95.4 \ 330$
 $LCHo = 56.7 \ 77.4 \ 340$
 $tchMi = 0.5 \ 1.0 \ 0.917$
 $tchMo = 0.5 \ 1.0 \ 0.944$

O Orangerot

$olv3Mi = 1.0 \ 0.0 \ 0.0$
 $olv3Mo = 1.0 \ 0.217 \ 0.0$
 $LCHMi = 31.8 \ 95.4 \ 30$
 $LCHo = 56.7 \ 77.4 \ 40$
 $tchMi = 0.5 \ 1.0 \ 0.083$
 $tchMo = 0.5 \ 1.0 \ 0.111$

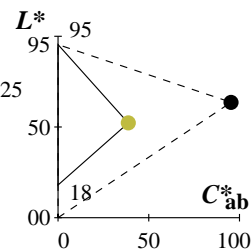
Bunttonänderung um +10 Grad der Ausgabefarbe M
Keine relative Buntheitsänderung der Ausgabefarbe M



Relatives CIELAB-Buntheitsdiagramm: ($a_R^* = lab^*a$, $b_R^* = lab^*b$) und **absolutes CIELAB Bunttondreiecks-Diagramm:** (L^* , C_{ab}^*) für Ein- (---) und Ausgabe (----) NLS00: Eingabe (i) Farbmatrik-Sytem; Sechs Bunttonwinkel des Farbgerätes: (30.0, 90.0, 150.0, 210.0, 270.0, 330.0); Vier Bunttonwinkel der Elementarfarben: (25.5, 92.3, 162.2, 271.7) NRS18: Ausgabe (o) Farbmatrik-Sytem; Sechs Bunttonwinkel des Farbgerätes: (25.5, 92.3, 162.2, 217.0, 271.7, 328.6); Vier Bunttonwinkel der Elementarfarben: (25.5, 92.3, 162.2, 271.7)

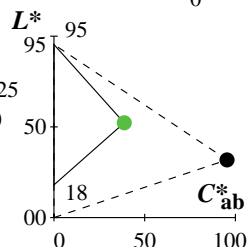
Y Gelb

$olv3Mi = 1.0 \ 1.0 \ 0.0$
 $olv3Mo = 0.75 \ 0.733 \ 0.25$
 $LCHMi = 63.6 \ 95.4 \ 90$
 $LCHo = 52.2 \ 38.7 \ 90$
 $tchMi = 0.5 \ 1.0 \ 0.25$
 $tchMo = 0.5 \ 0.5 \ 0.25$



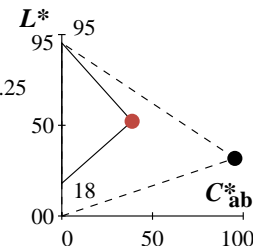
L Laubgrün

$olv3Mi = 0.0 \ 1.0 \ 0.0$
 $olv3Mo = 0.337 \ 0.75 \ 0.25$
 $LCHMi = 31.8 \ 95.4 \ 150$
 $LCHo = 52.2 \ 38.7 \ 150$
 $tchMi = 0.5 \ 1.0 \ 0.417$
 $tchMo = 0.5 \ 0.5 \ 0.417$



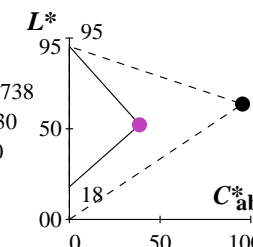
O Orangerot

$olv3Mi = 1.0 \ 0.0 \ 0.0$
 $olv3Mo = 0.75 \ 0.284 \ 0.25$
 $LCHMi = 31.8 \ 95.4 \ 30$
 $LCHo = 52.2 \ 38.7 \ 30$
 $tchMi = 0.5 \ 1.0 \ 0.083$
 $tchMo = 0.5 \ 0.5 \ 0.083$



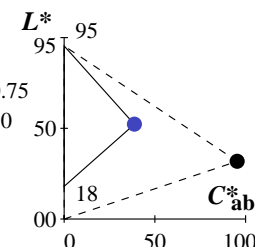
M Magentarot

$olv3Mi = 1.0 \ 0.0 \ 1.0$
 $olv3Mo = 0.75 \ 0.25 \ 0.738$
 $LCHMi = 63.6 \ 95.4 \ 330$
 $LCHo = 52.2 \ 38.7 \ 330$
 $tchMi = 0.5 \ 1.0 \ 0.917$
 $tchMo = 0.5 \ 0.5 \ 0.917$



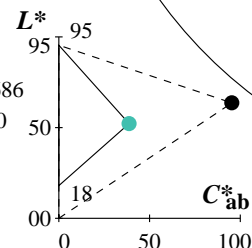
V Violettblau

$olv3Mi = 0.0 \ 0.0 \ 1.0$
 $olv3Mo = 0.25 \ 0.266 \ 0.75$
 $LCHMi = 31.8 \ 95.4 \ 270$
 $LCHo = 52.2 \ 38.7 \ 270$
 $tchMi = 0.5 \ 1.0 \ 0.75$
 $tchMo = 0.5 \ 0.5 \ 0.75$



C Cyanblau

$olv3Mi = 0.0 \ 1.0 \ 1.0$
 $olv3Mo = 0.25 \ 0.75 \ 0.686$
 $LCHMi = 63.6 \ 95.4 \ 210$
 $LCHo = 52.2 \ 38.7 \ 210$
 $tchMi = 0.5 \ 1.0 \ 0.583$
 $tchMo = 0.5 \ 0.5 \ 0.583$

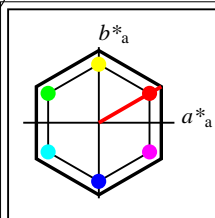


Keine Bunttonänderung der Ausgabefarbe M

Änderung auf halbe relative Buntheit der Ausgabefarbe M

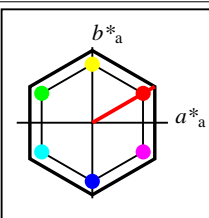
Siehe ähnliche Dateien: <http://www.ps.bam.de/YG64/>
Technische Information: <http://www.ps.bam.de> Version 2.1, io=1,1, CIELAB

BAM-Registrierung: 20061101-YG64/10L/L64G40FP.PS/.PDF BAM-Material: Code=rh4ta
Anwendung für Beurteilung und Messung von Drucker- oder Monitorsystemen
/YG64/ Form: 248, Serie: 1/1, Seite: 24 Seite: 24



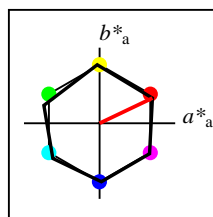
%Umfang
 $u^*_{rel} = 152$
%Regularität
 $g^*_{H,rel} = 100$
 $g^*_{C,rel} = 100$

NLS00	$L^*=L^*_a$	a^*_a	b^*_a	$C^*_{ab,a}$	$h^*_{ab,a}$
O _M	31.81	82.62	47.7	95.4	30
Y _M	63.61	0.0	95.4	95.4	90
L _M	31.81	-82.61	47.7	95.4	150
C _M	63.61	-82.61	-47.69	95.4	210
V _M	31.81	0.0	-95.39	95.4	270
M _M	63.61	82.62	-47.69	95.4	330
N _M	0.01	0.0	0.0	0.0	0
W _M	95.41	0.0	0.0	0.0	0
R _{CIE}	39.92	58.74	27.99	65.07	25
J _{CIE}	81.26	-2.88	71.56	71.62	92
G _{CIE}	52.23	-42.41	13.6	44.55	162
B _{CIE}	30.57	1.41	-46.46	46.49	272



%Umfang
 $u^*_{rel} = 152$
%Regularität
 $g^*_{H,rel} = 100$
 $g^*_{C,rel} = 100$

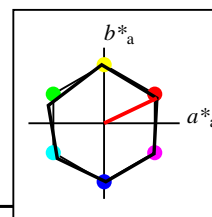
NLS00a; adaptierte CIELAB-Daten	$L^*=L^*_a$	a^*_a	b^*_a	$C^*_{ab,a}$	$h^*_{ab,a}$
O _{Ma}	31.81	82.62	47.7	95.4	30
Y _{Ma}	63.61	0.0	95.4	95.4	90
L _{Ma}	31.81	-82.61	47.7	95.4	150
C _{Ma}	63.61	-82.61	-47.69	95.4	210
V _{Ma}	31.81	0.0	-95.39	95.4	270
M _{Ma}	63.61	82.62	-47.69	95.4	330
N _{Ma}	0.01	0.0	0.0	0.0	0
W _{Ma}	95.41	0.0	0.0	0.0	0
R _{CIE}	39.92	58.74	27.99	65.07	25
J _{CIE}	81.26	-2.88	71.56	71.62	92
G _{CIE}	52.23	-42.41	13.6	44.55	162
B _{CIE}	30.57	1.41	-46.46	46.49	272



%Umfang
 $u^*_{rel} = 100$
%Regularität
 $g^*_{H,rel} = 78$
 $g^*_{C,rel} = 100$

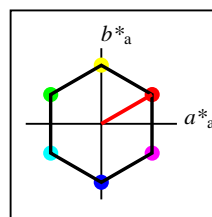
NRS18a; adaptierte CIELAB-Daten	$L^*=L^*_a$	a^*_a	b^*_a	$C^*_{ab,a}$	$h^*_{ab,a}$
O _{Ma}	56.71	69.87	33.29	77.4	25
Y _{Ma}	56.71	-3.1	77.34	77.4	92
L _{Ma}	56.71	-73.68	23.63	77.39	162
C _{Ma}	56.71	-61.81	-46.54	77.39	217
V _{Ma}	56.71	2.35	-77.34	77.39	272
M _{Ma}	56.71	66.07	-40.3	77.4	329
N _{Ma}	18.01	0.0	0.0	0.0	0
W _{Ma}	95.41	0.0	0.0	0.0	0
R _{CIE}	39.92	58.74	27.99	65.07	25
J _{CIE}	81.26	-2.88	71.56	71.62	92
G _{CIE}	52.23	-42.41	13.6	44.55	162
B _{CIE}	30.57	1.41	-46.46	46.49	272

Workflow-Wahlen
für Farbmuster:
1. keine Farbänderung
2. Buntton-Änderung
3. Buntheits-Änderung



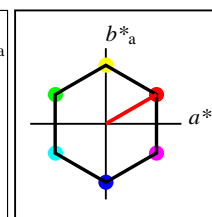
%Umfang
 $u^*_{rel} = 100$
%Regularität
 $g^*_{H,rel} = 78$
 $g^*_{C,rel} = 100$

NRS18a; adaptierte CIELAB-Daten	$L^*=L^*_a$	a^*_a	b^*_a	$C^*_{ab,a}$	$h^*_{ab,a}$
O _{Ma}	56.71	69.87	33.29	77.4	25
Y _{Ma}	56.71	-3.1	77.34	77.4	92
L _{Ma}	56.71	-73.68	23.63	77.39	162
C _{Ma}	56.71	-61.81	-46.54	77.39	217
V _{Ma}	56.71	2.35	-77.34	77.39	272
M _{Ma}	56.71	66.07	-40.3	77.4	329
N _{Ma}	18.01	0.0	0.0	0.0	0
W _{Ma}	95.41	0.0	0.0	0.0	0
R _{CIE}	39.92	58.74	27.99	65.07	25
J _{CIE}	81.26	-2.88	71.56	71.62	92
G _{CIE}	52.23	-42.41	13.6	44.55	162
B _{CIE}	30.57	1.41	-46.46	46.49	272



%Umfang
 $u^*_{rel} = 100$
%Regularität
 $g^*_{H,rel} = 100$
 $g^*_{C,rel} = 100$

SRS18a; adaptierte CIELAB-Daten	$L^*=L^*_a$	a^*_a	b^*_a	$C^*_{ab,a}$	$h^*_{ab,a}$
O _{Ma}	56.71	67.03	38.7	77.4	30
Y _{Ma}	56.71	0.0	77.4	77.4	90
L _{Ma}	56.71	-67.02	38.7	77.4	150
C _{Ma}	56.71	-67.02	-38.69	77.4	210
V _{Ma}	56.71	0.0	-77.39	77.4	270
M _{Ma}	56.71	67.03	-38.69	77.4	330
N _{Ma}	18.01	0.0	0.0	0.0	0
W _{Ma}	95.41	0.0	0.0	0.0	0
R _{CIE}	39.92	58.74	27.99	65.07	25
J _{CIE}	81.26	-2.88	71.56	71.62	92
G _{CIE}	52.23	-42.41	13.6	44.55	162
B _{CIE}	30.57	1.41	-46.46	46.49	272



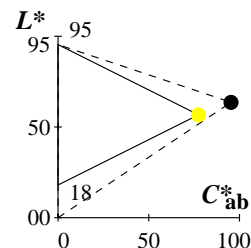
%Umfang
 $u^*_{rel} = 100$
%Regularität
 $g^*_{H,rel} = 100$
 $g^*_{C,rel} = 100$

SRS18	$L^*=L^*_a$	a^*_a	b^*_a	$C^*_{ab,a}$	$h^*_{ab,a}$
O _M	56.71	67.03	38.7	77.4	30
Y _M	56.71	0.0	77.4	77.4	90
L _M	56.71	-67.02	38.7	77.4	150
C _M	56.71	-67.02	-38.69	77.4	210
V _M	56.71	0.0	-77.39	77.4	270
M _M	56.71	67.03	-38.69	77.4	330
N _M	18.01	0.0	0.0	0.0	0
W _M	95.41	0.0	0.0	0.0	0
R _{CIE}	39.92	58.74	27.99	65.07	25
J _{CIE}	81.26	-2.88	71.56	71.62	92
G _{CIE}	52.23	-42.41	13.6	44.55	162
B _{CIE}	30.57	1.41	-46.46	46.49	272

Relatives CIELAB-Buntheitsdiagramm: ($a_R^* = lab^*a$, $b_R^* = lab^*b$) und absolutes CIELAB Bunttondreiecks-Diagramm: (L^* , C_{ab}^*) für Ein- (---) und Ausgabe (----) NLS00: Eingabe (i) Farbmatrik-Sytem; Sechs Bunttonwinkel des Farbgerätes: (30.0, 90.0, 150.0, 210.0, 270.0, 330.0); Vier Bunttonwinkel der Elementarfarben: (25.5, 92.3, 162.2, 271.7) SRS18: Ausgabe (o) Farbmatrik-Sytem; Sechs Bunttonwinkel des Farbgerätes: (30.0, 90.0, 150.0, 210.0, 270.0, 330.0); Vier Bunttonwinkel der Elementarfarben: (25.5, 92.3, 162.2, 271.7)

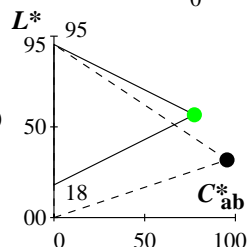
Y Gelb

olv3Mi = 1.0 1.0 0.0
olv3Mo = 1.0 1.0 0.0
LCHMi = 63.6 95.4 90
LCHo = 56.7 77.4 90
tchMi = 0.5 1.0 0.25
tchMo = 0.5 1.0 0.25



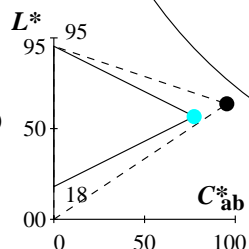
L Laubgrün

olv3Mi = 0.0 1.0 0.0
olv3Mo = 0.0 1.0 0.0
LCHMi = 31.8 95.4 150
LCHo = 56.7 77.4 150
tchMi = 0.5 1.0 0.417
tchMo = 0.5 1.0 0.417



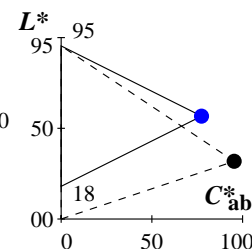
C Cyanblau

olv3Mi = 0.0 1.0 1.0
olv3Mo = 0.0 1.0 1.0
LCHMi = 63.6 95.4 210
LCHo = 56.7 77.4 210
tchMi = 0.5 1.0 0.583
tchMo = 0.5 1.0 0.583



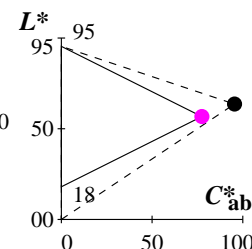
V Violettblau

olv3Mi = 0.0 0.0 1.0
olv3Mo = 0.0 0.0 1.0
LCHMi = 31.8 95.4 270
LCHo = 56.7 77.4 270
tchMi = 0.5 1.0 0.75
tchMo = 0.5 1.0 0.75



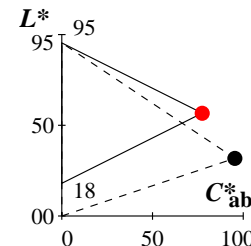
M Magentarot

olv3Mi = 1.0 0.0 1.0
olv3Mo = 1.0 0.0 1.0
LCHMi = 63.6 95.4 330
LCHo = 56.7 77.4 330
tchMi = 0.5 1.0 0.917
tchMo = 0.5 1.0 0.917



O Orangerot

olv3Mi = 1.0 0.0 0.0
olv3Mo = 1.0 0.0 0.0
LCHMi = 31.8 95.4 30
LCHo = 56.7 77.4 30
tchMi = 0.5 1.0 0.083
tchMo = 0.5 1.0 0.083



Keine Bunttonänderung der Ausgabefarbe M
Keine relative Buntheitsänderung der Ausgabefarbe M

Siehe ähnliche Dateien: <http://www.ps.bam.de/YG64/>
Technische Information: <http://www.ps.bam.de> Version 2.1, io=1,1, CIELAB

BAM-Registrierung: 20061101-YG64/10L/L64G40FP.PS/.PDF BAM-Material: Code=rh4ta
Anwendung für Beurteilung und Messung von Drucker- oder Monitorsystemen
/YG64/ Form: 268, Serie: 1/1, Seite: 26 Seite 26/32

Relatives CIELAB-Buntheitsdiagramm: ($a^*_r = lab^*a$, $b^*_r = lab^*b$) und absolutes CIELAB Bunttondreiecks-Diagramm: (L^* , C^*_{ab}) für Ein- (---) und Ausgabe (----)
NLS00: Eingabe (i) Farbmatrik-Sytem; Sechs Bunttonwinkel des Farbgerätes: (30.0, 90.0, 150.0, 210.0, 270.0, 330.0); Vier Bunttonwinkel der Elementarfarben: (25.5, 92.3, 162.2, 271.7)
SRS18: Ausgabe (o) Farbmatrik-Sytem; Sechs Bunttonwinkel des Farbgerätes: (30.0, 90.0, 150.0, 210.0, 270.0, 330.0); Vier Bunttonwinkel der Elementarfarben: (25.5, 92.3, 162.2, 271.7)

Y Gelb

$olv3Mi = 1.0 \ 1.0 \ 0.0$
 $olv3Mo = 0.833 \ 1.0 \ 0.0$
 $LCHMi = 63.6 \ 95.4 \ 90$
 $LCHo = 56.7 \ 77.4 \ 100$
 $tchMi = 0.5 \ 1.0 \ 0.25$
 $tchMo = 0.5 \ 1.0 \ 0.278$

L Laubgrün

$olv3Mi = 0.0 \ 1.0 \ 0.0$
 $olv3Mo = 0.0 \ 1.0 \ 0.167$
 $LCHMi = 31.8 \ 95.4 \ 150$
 $LCHo = 56.7 \ 77.4 \ 160$
 $tchMi = 0.5 \ 1.0 \ 0.417$
 $tchMo = 0.5 \ 1.0 \ 0.444$

C Cyanblau

$olv3Mi = 0.0 \ 1.0 \ 1.0$
 $olv3Mo = 0.0 \ 0.833 \ 1.0$
 $LCHMi = 63.6 \ 95.4 \ 210$
 $LCHo = 56.7 \ 77.4 \ 220$
 $tchMi = 0.5 \ 1.0 \ 0.583$
 $tchMo = 0.5 \ 1.0 \ 0.611$

V Violettblau

$olv3Mi = 0.0 \ 0.0 \ 1.0$
 $olv3Mo = 0.167 \ 0.0 \ 1.0$
 $LCHMi = 31.8 \ 95.4 \ 270$
 $LCHo = 56.7 \ 77.4 \ 280$
 $tchMi = 0.5 \ 1.0 \ 0.75$
 $tchMo = 0.5 \ 1.0 \ 0.778$

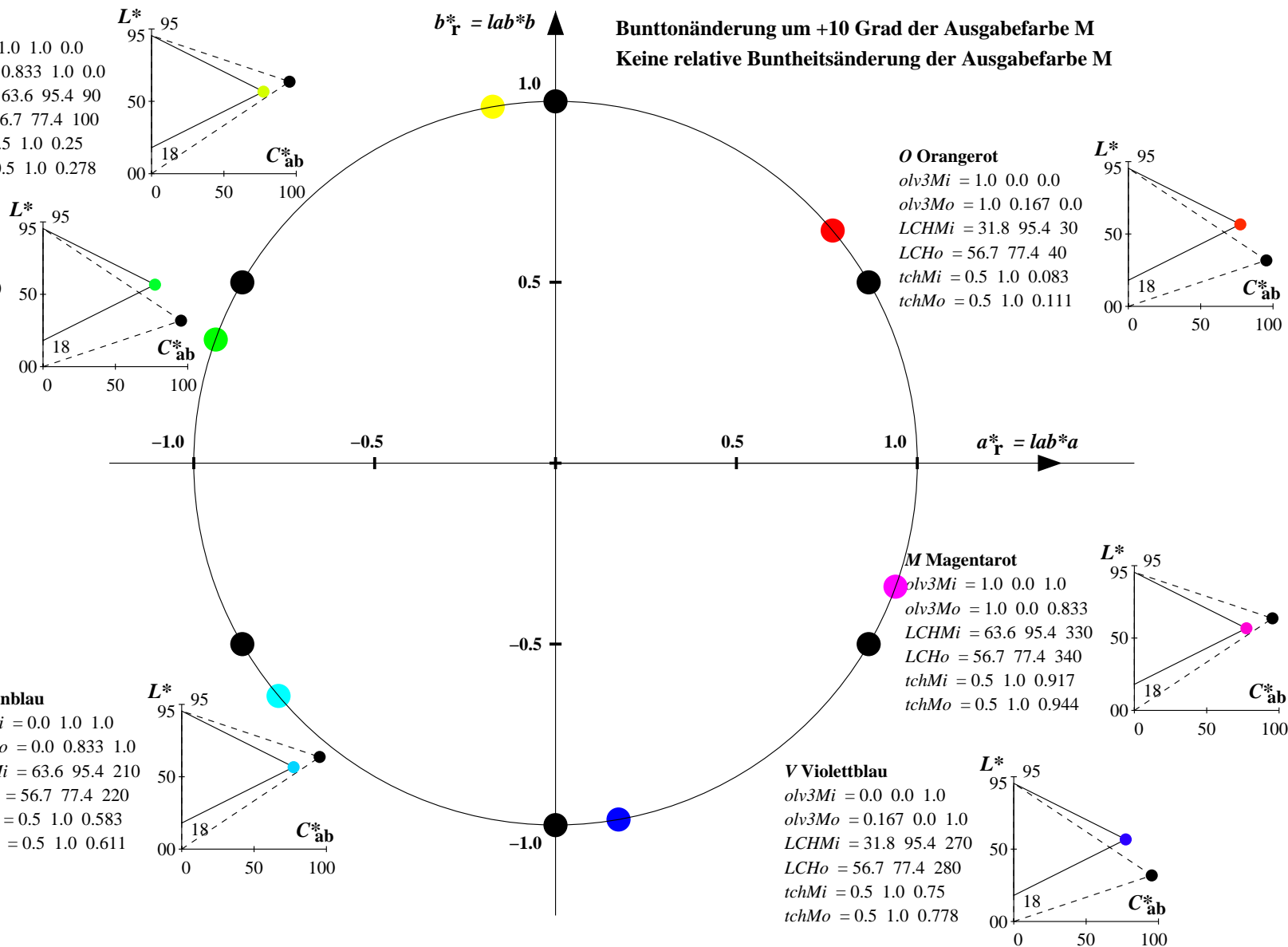
M Magentarot

$olv3Mi = 1.0 \ 0.0 \ 1.0$
 $olv3Mo = 1.0 \ 0.0 \ 0.833$
 $LCHMi = 63.6 \ 95.4 \ 330$
 $LCHo = 56.7 \ 77.4 \ 340$
 $tchMi = 0.5 \ 1.0 \ 0.917$
 $tchMo = 0.5 \ 1.0 \ 0.944$

O Orangerot

$olv3Mi = 1.0 \ 0.0 \ 0.0$
 $olv3Mo = 1.0 \ 0.167 \ 0.0$
 $LCHMi = 31.8 \ 95.4 \ 30$
 $LCHo = 56.7 \ 77.4 \ 40$
 $tchMi = 0.5 \ 1.0 \ 0.083$
 $tchMo = 0.5 \ 1.0 \ 0.111$

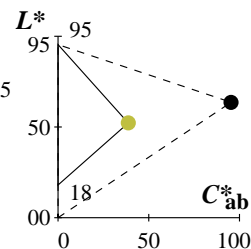
Bunttonänderung um +10 Grad der Ausgabefarbe M
Keine relative Buntheitsänderung der Ausgabefarbe M



Relatives CIELAB-Buntheitsdiagramm: ($a_R^* = lab^*a$, $b_R^* = lab^*b$) und absolutes CIELAB Bunttondreiecks-Diagramm: (L^* , C_{ab}^*) für Ein- (---) und Ausgabe (----) NLS00: Eingabe (i) Farbmatrik-Sytem; Sechs Bunttonwinkel des Farbgerätes: (30.0, 90.0, 150.0, 210.0, 270.0, 330.0); Vier Bunttonwinkel der Elementarfarben: (25.5, 92.3, 162.2, 271.7) SRS18: Ausgabe (o) Farbmatrik-Sytem; Sechs Bunttonwinkel des Farbgerätes: (30.0, 90.0, 150.0, 210.0, 270.0, 330.0); Vier Bunttonwinkel der Elementarfarben: (25.5, 92.3, 162.2, 271.7)

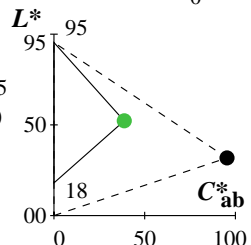
Y Gelb

$olv3Mi = 1.0 \ 1.0 \ 0.0$
 $olv3Mo = 0.75 \ 0.75 \ 0.25$
 $LCHMi = 63.6 \ 95.4 \ 90$
 $LCHo = 52.2 \ 38.7 \ 90$
 $tchMi = 0.5 \ 1.0 \ 0.25$
 $tchMo = 0.5 \ 0.5 \ 0.25$



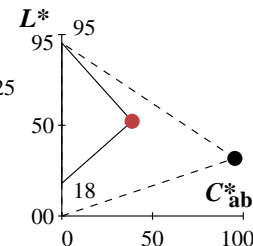
L Laubgrün

$olv3Mi = 0.0 \ 1.0 \ 0.0$
 $olv3Mo = 0.25 \ 0.75 \ 0.25$
 $LCHMi = 31.8 \ 95.4 \ 150$
 $LCHo = 52.2 \ 38.7 \ 150$
 $tchMi = 0.5 \ 1.0 \ 0.417$
 $tchMo = 0.5 \ 0.5 \ 0.417$



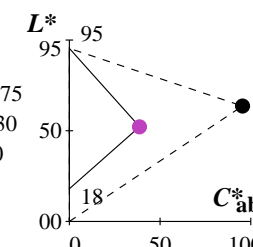
O Orangerot

$olv3Mi = 1.0 \ 0.0 \ 0.0$
 $olv3Mo = 0.75 \ 0.25 \ 0.25$
 $LCHMi = 31.8 \ 95.4 \ 30$
 $LCHo = 52.2 \ 38.7 \ 30$
 $tchMi = 0.5 \ 1.0 \ 0.083$
 $tchMo = 0.5 \ 0.5 \ 0.083$



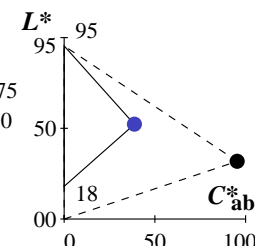
M Magentarot

$olv3Mi = 1.0 \ 0.0 \ 1.0$
 $olv3Mo = 0.75 \ 0.25 \ 0.75$
 $LCHMi = 63.6 \ 95.4 \ 330$
 $LCHo = 52.2 \ 38.7 \ 330$
 $tchMi = 0.5 \ 1.0 \ 0.917$
 $tchMo = 0.5 \ 0.5 \ 0.917$



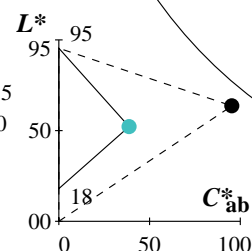
V Violettblau

$olv3Mi = 0.0 \ 0.0 \ 1.0$
 $olv3Mo = 0.25 \ 0.25 \ 0.75$
 $LCHMi = 31.8 \ 95.4 \ 270$
 $LCHo = 52.2 \ 38.7 \ 270$
 $tchMi = 0.5 \ 1.0 \ 0.75$
 $tchMo = 0.5 \ 0.5 \ 0.75$



C Cyanblau

$olv3Mi = 0.0 \ 1.0 \ 1.0$
 $olv3Mo = 0.25 \ 0.75 \ 0.75$
 $LCHMi = 63.6 \ 95.4 \ 210$
 $LCHo = 52.2 \ 38.7 \ 210$
 $tchMi = 0.5 \ 1.0 \ 0.583$
 $tchMo = 0.5 \ 0.5 \ 0.583$

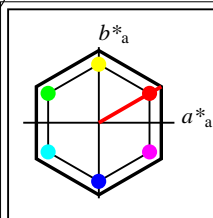


Keine Bunttonänderung der Ausgabefarbe M

Änderung auf halbe relative Buntheit der Ausgabefarbe M

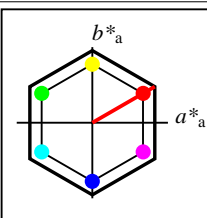
Siehe ähnliche Dateien: <http://www.ps.bam.de/YG64/>
Technische Information: <http://www.ps.bam.de> Version 2.1, io=1,1, CIELAB

BAM-Registrierung: 20061101-YG64/10L/L64G40FP.PS/.PDF BAM-Material: Code=rh4ta
Anwendung für Beurteilung und Messung von Drucker- oder Monitorsystemen
/YG64/ Form: 28/8, Serie: 1/1, Seite: 28 Seite: 28



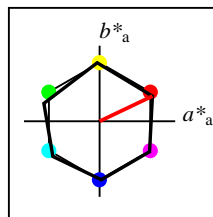
%Umfang
 $u^*_{rel} = 152$
%Regularität
 $g^*_{H,rel} = 100$
 $g^*_{C,rel} = 100$

NLS00	$L^*=L^*_a$	a^*_a	b^*_a	$C^*_{ab,a}$	$h^*_{ab,a}$
O _M	31.81	82.62	47.7	95.4	30
Y _M	63.61	0.0	95.4	95.4	90
L _M	31.81	-82.61	47.7	95.4	150
C _M	63.61	-82.61	-47.69	95.4	210
V _M	31.81	0.0	-95.39	95.4	270
M _M	63.61	82.62	-47.69	95.4	330
N _M	0.01	0.0	0.0	0.0	0
W _M	95.41	0.0	0.0	0.0	0
R _{CIE}	39.92	58.74	27.99	65.07	25
J _{CIE}	81.26	-2.88	71.56	71.62	92
G _{CIE}	52.23	-42.41	13.6	44.55	162
B _{CIE}	30.57	1.41	-46.46	46.49	272



%Umfang
 $u^*_{rel} = 152$
%Regularität
 $g^*_{H,rel} = 100$
 $g^*_{C,rel} = 100$

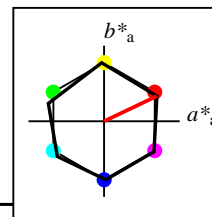
NLS00a; adaptierte CIELAB-Daten	$L^*=L^*_a$	a^*_a	b^*_a	$C^*_{ab,a}$	$h^*_{ab,a}$
O _{Ma}	31.81	82.62	47.7	95.4	30
Y _{Ma}	63.61	0.0	95.4	95.4	90
L _{Ma}	31.81	-82.61	47.7	95.4	150
C _{Ma}	63.61	-82.61	-47.69	95.4	210
V _{Ma}	31.81	0.0	-95.39	95.4	270
M _{Ma}	63.61	82.62	-47.69	95.4	330
N _{Ma}	0.01	0.0	0.0	0.0	0
W _{Ma}	95.41	0.0	0.0	0.0	0
R _{CIE}	39.92	58.74	27.99	65.07	25
J _{CIE}	81.26	-2.88	71.56	71.62	92
G _{CIE}	52.23	-42.41	13.6	44.55	162
B _{CIE}	30.57	1.41	-46.46	46.49	272



%Umfang
 $u^*_{rel} = 100$
%Regularität
 $g^*_{H,rel} = 78$
 $g^*_{C,rel} = 100$

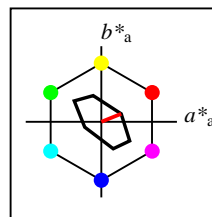
NRS18a; adaptierte CIELAB-Daten	$L^*=L^*_a$	a^*_a	b^*_a	$C^*_{ab,a}$	$h^*_{ab,a}$
O _{Ma}	56.71	69.87	33.29	77.4	25
Y _{Ma}	56.71	-3.1	77.34	77.4	92
L _{Ma}	56.71	-73.68	23.63	77.39	162
C _{Ma}	56.71	-61.81	-46.54	77.39	217
V _{Ma}	56.71	2.35	-77.34	77.39	272
M _{Ma}	56.71	66.07	-40.3	77.4	329
N _{Ma}	18.01	0.0	0.0	0.0	0
W _{Ma}	95.41	0.0	0.0	0.0	0
R _{CIE}	39.92	58.74	27.99	65.07	25
J _{CIE}	81.26	-2.88	71.56	71.62	92
G _{CIE}	52.23	-42.41	13.6	44.55	162
B _{CIE}	30.57	1.41	-46.46	46.49	272

Workflow-Wahlen
für Farbmuster:
1. keine Farbänderung
2. Buntton-Änderung
3. Buntheits-Änderung



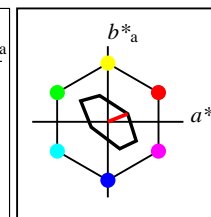
%Umfang
 $u^*_{rel} = 100$
%Regularität
 $g^*_{H,rel} = 78$
 $g^*_{C,rel} = 100$

NRS18a; adaptierte CIELAB-Daten	$L^*=L^*_a$	a^*_a	b^*_a	$C^*_{ab,a}$	$h^*_{ab,a}$
O _{Ma}	56.71	69.87	33.29	77.4	25
Y _{Ma}	56.71	-3.1	77.34	77.4	92
L _{Ma}	56.71	-73.68	23.63	77.39	162
C _{Ma}	56.71	-61.81	-46.54	77.39	217
V _{Ma}	56.71	2.35	-77.34	77.39	272
M _{Ma}	56.71	66.07	-40.3	77.4	329
N _{Ma}	18.01	0.0	0.0	0.0	0
W _{Ma}	95.41	0.0	0.0	0.0	0
R _{CIE}	39.92	58.74	27.99	65.07	25
J _{CIE}	81.26	-2.88	71.56	71.62	92
G _{CIE}	52.23	-42.41	13.6	44.55	162
B _{CIE}	30.57	1.41	-46.46	46.49	272



%Umfang
 $u^*_{rel} = 16$
%Regularität
 $g^*_{H,rel} = 34$
 $g^*_{C,rel} = 51$

TLS70a; adaptierte CIELAB-Daten	$L^*=L^*_a$	a^*_a	b^*_a	$C^*_{ab,a}$	$h^*_{ab,a}$
O _{Ma}	76.43	26.27	10.57	28.32	22
Y _{Ma}	93.93	-10.76	34.63	36.27	107
L _{Ma}	89.32	-35.8	27.64	45.24	142
C _{Ma}	90.93	-21.95	-7.07	23.07	198
V _{Ma}	72.1	15.76	-35.63	38.97	294
M _{Ma}	78.5	37.52	-25.23	45.22	326
N _{Ma}	69.7	0.0	0.0	0.0	0
W _{Ma}	95.41	0.0	0.0	0.0	0
R _{CIE}	39.92	58.74	27.99	65.07	25
J _{CIE}	81.26	-2.88	71.56	71.62	92
G _{CIE}	52.23	-42.41	13.6	44.55	162
B _{CIE}	30.57	1.41	-46.46	46.49	272



%Umfang
 $u^*_{rel} = 16$
%Regularität
 $g^*_{H,rel} = 34$
 $g^*_{C,rel} = 51$

TLS70	$L^*=L^*_a$	a^*_a	b^*_a	$C^*_{ab,a}$	$h^*_{ab,a}$
O _M	76.43	26.27	10.57	28.32	22
Y _M	93.93	-10.76	34.63	36.27	107
L _M	89.32	-35.8	27.64	45.24	142
C _M	90.93	-21.95	-7.07	23.07	198
V _M	72.1	15.76	-35.63	38.97	294
M _M	78.5	37.52	-25.23	45.22	326
N _M	69.7	0.0	0.0	0.0	0
W _M	95.41	0.0	0.0	0.0	0
R _{CIE}	39.92	58.74	27.99	65.07	25
J _{CIE}	81.26	-2.88	71.56	71.62	92
G _{CIE}	52.23	-42.41	13.6	44.55	162
B _{CIE}	30.57	1.41	-46.46	46.49	272

Relatives CIELAB-Buntheitsdiagramm: ($a_R^* = lab^*a$, $b_R^* = lab^*b$) und absolutes CIELAB Bunttondreiecks-Diagramm: (L^* , C_{ab}^*) für Ein- (---) und Ausgabe (----) NLS00: Eingabe (i) Farbmatrik-Sytem; Sechs Bunttonwinkel des Farbgerätes: (30.0, 90.0, 150.0, 210.0, 270.0, 330.0); Vier Bunttonwinkel der Elementarfarben: (25.5, 92.3, 162.2, 271.7)
TLS70: Ausgabe (o) Farbmatrik-Sytem; Sechs Bunttonwinkel des Farbgerätes: (21.9, 107.3, 142.3, 197.9, 293.9, 326.1); Vier Bunttonwinkel der Elementarfarben: (25.5, 92.3, 162.2, 271.7)

Y Gelb

$olv3Mi = 1.0 \ 1.0 \ 0.0$
 $olv3Mo = 1.0 \ 0.798 \ 0.0$
 $LCHMi = 63.6 \ 95.4 \ 90$
 $LCHo = 90.4 \ 34.7 \ 90$
 $tchMi = 0.5 \ 1.0 \ 0.25$
 $tchMo = 0.5 \ 1.0 \ 0.25$

L Laubgrün

$olv3Mi = 0.0 \ 1.0 \ 0.0$
 $olv3Mo = 0.0 \ 1.0 \ 0.138$
 $LCHMi = 31.8 \ 95.4 \ 150$
 $LCHo = 89.5 \ 42.2 \ 150$
 $tchMi = 0.5 \ 1.0 \ 0.417$
 $tchMo = 0.5 \ 1.0 \ 0.417$

C Cyanblau

$olv3Mi = 0.0 \ 1.0 \ 1.0$
 $olv3Mo = 0.0 \ 0.874 \ 1.0$
 $LCHMi = 63.6 \ 95.4 \ 210$
 $LCHo = 88.6 \ 25.1 \ 210$
 $tchMi = 0.5 \ 1.0 \ 0.583$
 $tchMo = 0.5 \ 1.0 \ 0.583$

V Violettblau

$olv3Mi = 0.0 \ 0.0 \ 1.0$
 $olv3Mo = 0.0 \ 0.249 \ 1.0$
 $LCHMi = 31.8 \ 95.4 \ 270$
 $LCHo = 76.8 \ 35.0 \ 270$
 $tchMi = 0.5 \ 1.0 \ 0.75$
 $tchMo = 0.5 \ 1.0 \ 0.75$

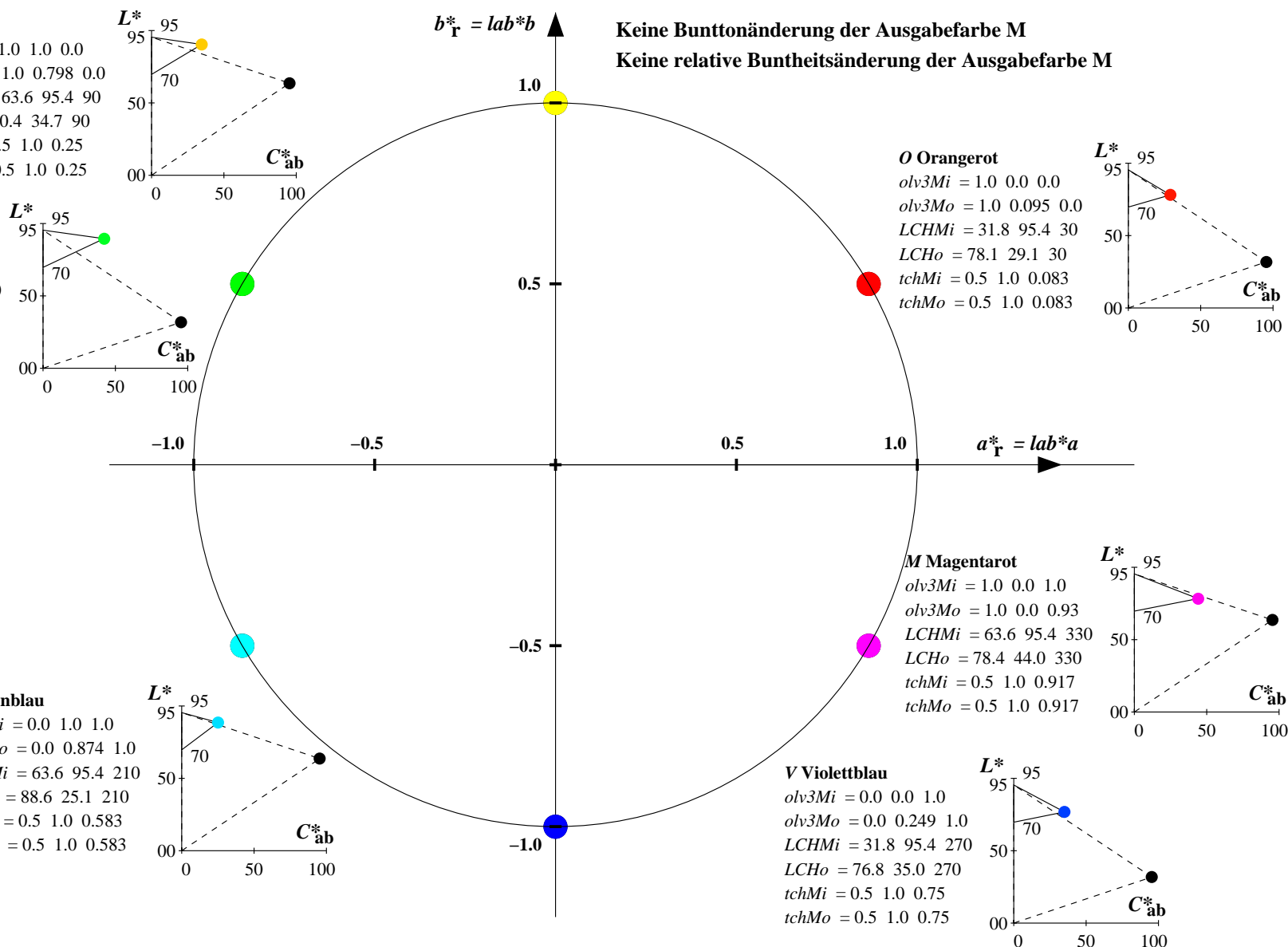
M Magentarot

$olv3Mi = 1.0 \ 0.0 \ 1.0$
 $olv3Mo = 1.0 \ 0.0 \ 0.93$
 $LCHMi = 63.6 \ 95.4 \ 330$
 $LCHo = 78.4 \ 44.0 \ 330$
 $tchMi = 0.5 \ 1.0 \ 0.917$
 $tchMo = 0.5 \ 1.0 \ 0.917$

O Orangerot

$olv3Mi = 1.0 \ 0.0 \ 0.0$
 $olv3Mo = 1.0 \ 0.095 \ 0.0$
 $LCHMi = 31.8 \ 95.4 \ 30$
 $LCHo = 78.1 \ 29.1 \ 30$
 $tchMi = 0.5 \ 1.0 \ 0.083$
 $tchMo = 0.5 \ 1.0 \ 0.083$

Keine Bunttonänderung der Ausgabefarbe M
Keine relative Buntheitsänderung der Ausgabefarbe M



Relatives CIELAB-Buntheitsdiagramm: ($a_R^* = lab^*a$, $b_R^* = lab^*b$) und absolutes CIELAB Bunttondreiecks-Diagramm: (L^* , C_{ab}^*) für Ein- (---) und Ausgabe (----) NLS00: Eingabe (i) Farbmatrik-Sytem; Sechs Bunttonwinkel des Farbgerätes: (30.0, 90.0, 150.0, 210.0, 270.0, 330.0); Vier Bunttonwinkel der Elementarfarben: (25.5, 92.3, 162.2, 271.7)
TLS70: Ausgabe (o) Farbmatrik-Sytem; Sechs Bunttonwinkel des Farbgerätes: (21.9, 107.3, 142.3, 197.9, 293.9, 326.1); Vier Bunttonwinkel der Elementarfarben: (25.5, 92.3, 162.2, 271.7)

Y Gelb

$olv3Mi = 1.0 \ 1.0 \ 0.0$
 $olv3Mo = 1.0 \ 0.915 \ 0.0$
 $LCHMi = 63.6 \ 95.4 \ 90$
 $LCHo = 92.4 \ 35.6 \ 100$
 $tchMi = 0.5 \ 1.0 \ 0.25$
 $tchMo = 0.5 \ 1.0 \ 0.278$

L Laubgrün

$olv3Mi = 0.0 \ 1.0 \ 0.0$
 $olv3Mo = 0.0 \ 1.0 \ 0.318$
 $LCHMi = 31.8 \ 95.4 \ 150$
 $LCHo = 89.8 \ 38.2 \ 160$
 $tchMi = 0.5 \ 1.0 \ 0.417$
 $tchMo = 0.5 \ 1.0 \ 0.444$

C Cyanblau

$olv3Mi = 0.0 \ 1.0 \ 1.0$
 $olv3Mo = 0.0 \ 0.769 \ 1.0$
 $LCHMi = 63.6 \ 95.4 \ 210$
 $LCHo = 86.6 \ 26.7 \ 220$
 $tchMi = 0.5 \ 1.0 \ 0.583$
 $tchMo = 0.5 \ 1.0 \ 0.611$

V Violettblau

$olv3Mi = 0.0 \ 0.0 \ 1.0$
 $olv3Mo = 0.0 \ 0.144 \ 1.0$
 $LCHMi = 31.8 \ 95.4 \ 270$
 $LCHo = 74.8 \ 36.7 \ 280$
 $tchMi = 0.5 \ 1.0 \ 0.75$
 $tchMo = 0.5 \ 1.0 \ 0.778$

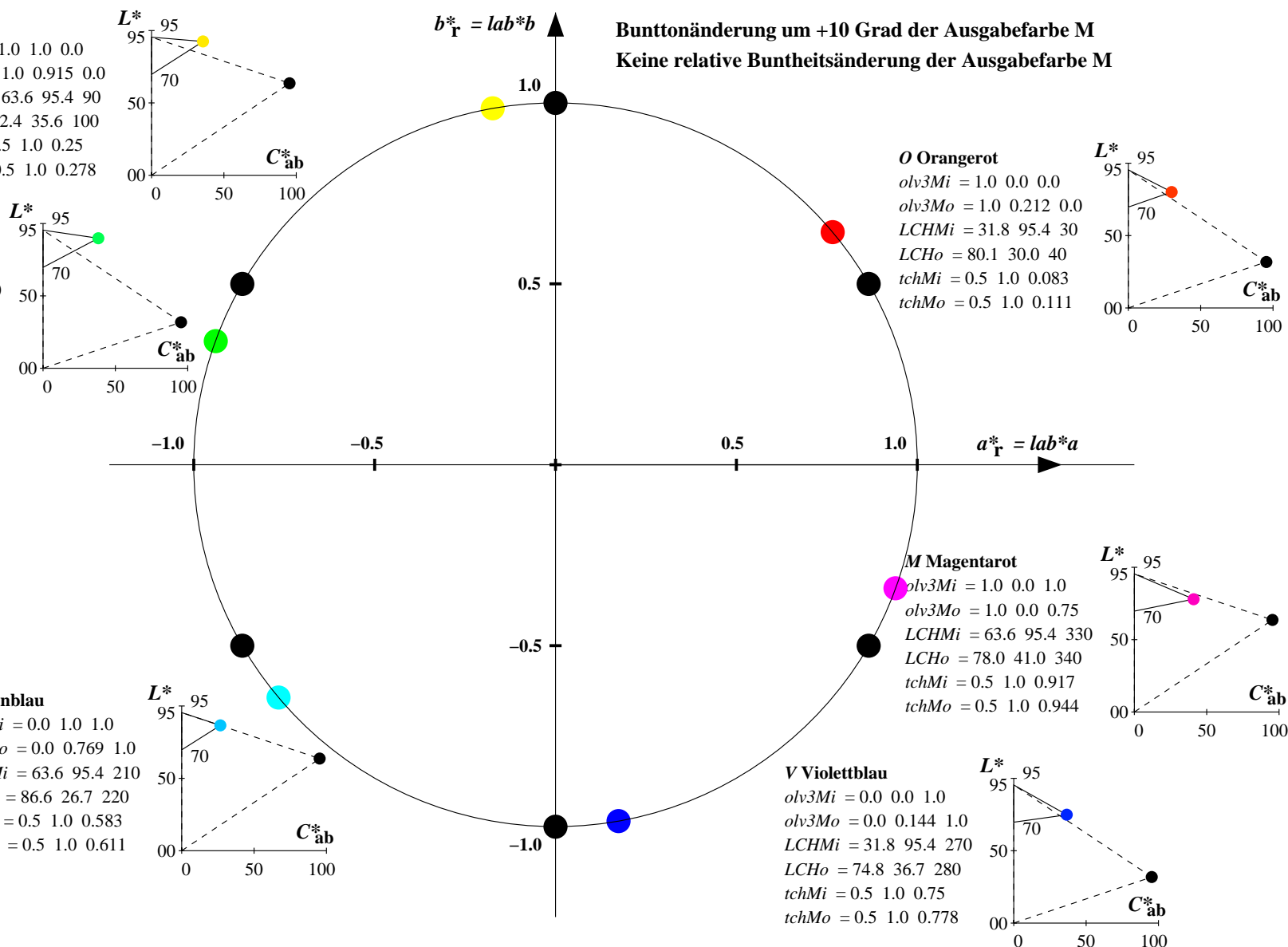
M Magentarot

$olv3Mi = 1.0 \ 0.0 \ 1.0$
 $olv3Mo = 1.0 \ 0.0 \ 0.75$
 $LCHMi = 63.6 \ 95.4 \ 330$
 $LCHo = 78.0 \ 41.0 \ 340$
 $tchMi = 0.5 \ 1.0 \ 0.917$
 $tchMo = 0.5 \ 1.0 \ 0.944$

O Orangerot

$olv3Mi = 1.0 \ 0.0 \ 0.0$
 $olv3Mo = 1.0 \ 0.212 \ 0.0$
 $LCHMi = 31.8 \ 95.4 \ 30$
 $LCHo = 80.1 \ 30.0 \ 40$
 $tchMi = 0.5 \ 1.0 \ 0.083$
 $tchMo = 0.5 \ 1.0 \ 0.111$

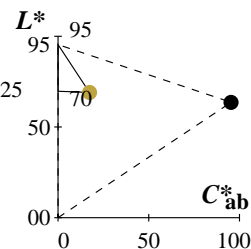
Bunttonänderung um +10 Grad der Ausgabefarbe M
Keine relative Buntheitsänderung der Ausgabefarbe M



Relatives CIELAB-Buntheitsdiagramm: ($a_R^* = lab^*a$, $b_R^* = lab^*b$) und absolutes CIELAB Bunttondreiecks-Diagramm: (L^* , C_{ab}^*) für Ein- (---) und Ausgabe (----) NLS00: Eingabe (i) Farbmatrik-Sytem; Sechs Bunttonwinkel des Farbgerätes: (30.0, 90.0, 150.0, 210.0, 270.0, 330.0); Vier Bunttonwinkel der Elementarfarben: (25.5, 92.3, 162.2, 271.7)
TLS70: Ausgabe (o) Farbmatrik-Sytem; Sechs Bunttonwinkel des Farbgerätes: (21.9, 107.3, 142.3, 197.9, 293.9, 326.1); Vier Bunttonwinkel der Elementarfarben: (25.5, 92.3, 162.2, 271.7)

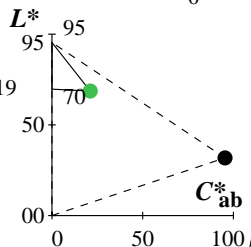
Y Gelb

olv3Mi = 1.0 1.0 0.0
olv3Mo = 0.75 0.649 0.25
LCHMi = 63.6 95.4 90
LCHo = 69.0 17.3 90
tchMi = 0.5 1.0 0.25
tchMo = 0.5 0.5 0.25



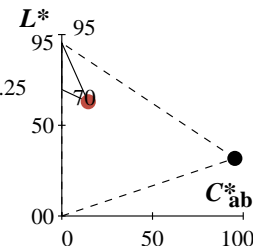
L Laubgrün

olv3Mi = 0.0 1.0 0.0
olv3Mo = 0.25 0.75 0.319
LCHMi = 31.8 95.4 150
LCHo = 68.6 21.1 150
tchMi = 0.5 1.0 0.417
tchMo = 0.5 0.5 0.417



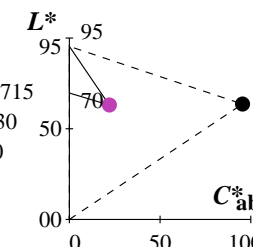
O Orangerot

olv3Mi = 1.0 0.0 0.0
olv3Mo = 0.75 0.297 0.25
LCHMi = 31.8 95.4 30
LCHo = 62.9 14.5 30
tchMi = 0.5 1.0 0.083
tchMo = 0.5 0.5 0.083



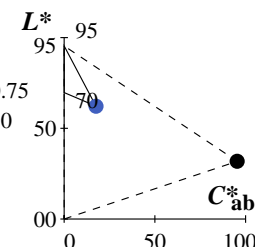
M Magentarot

olv3Mi = 1.0 0.0 1.0
olv3Mo = 0.75 0.25 0.715
LCHMi = 63.6 95.4 330
LCHo = 63.0 22.0 330
tchMi = 0.5 1.0 0.917
tchMo = 0.5 0.5 0.917



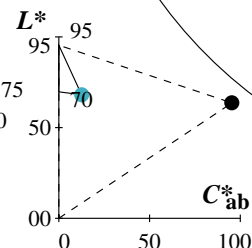
V Violettblau

olv3Mi = 0.0 0.0 1.0
olv3Mo = 0.25 0.374 0.75
LCHMi = 31.8 95.4 270
LCHo = 62.2 17.5 270
tchMi = 0.5 1.0 0.75
tchMo = 0.5 0.5 0.75



C Cyanblau

olv3Mi = 0.0 1.0 1.0
olv3Mo = 0.25 0.687 0.75
LCHMi = 63.6 95.4 210
LCHo = 68.1 12.5 210
tchMi = 0.5 1.0 0.583
tchMo = 0.5 0.5 0.583



Keine Bunttonänderung der Ausgabefarbe M

Änderung auf halbe relative Buntheit der Ausgabefarbe M

Siehe ähnliche Dateien: <http://www.ps.bam.de/YG64/>
Technische Information: <http://www.ps.bam.de> Version 2.1, io=1,1, CIELAB

BAM-Registrierung: 20061101-YG64/10L/L64G40FP.PS/.PDF BAM-Material: Code=rh4ta
Anwendung für Beurteilung und Messung von Drucker- oder Monitorsystemen
/YG64/ Form: 328, Serie: 1/1, Seite: 32 Seite: 32